

## DAFTAR PUSTAKA

- Abdelhady, M.A., Elhamamssy, M.M.E., Ali, S.S., Eldin, H.H.B., Moussa, H.M.Y., dan Hamed, M.A. (2017). Comparative Study Between Succinylated Gelatin (Gelofusine) Versus Ringer's Acetate Regarding Safety And Efficacy In Adult Patients Undergoing Cardiac Surgery. *International Journal of Advanced Research (IJAR)*. 5(1): 1909-1918.
- Akata T. (2007). General anesthetics and vascular smoothmuscle: Directactions of generalanesthetics on cellular mechanisms regulating vascular tone (Review). *Anesthesiology*. 106: 365-391.
- Ali, S. H., YILDIZ, A., dan Atroshey, S. M. (2015). An Investigation of the Left Ventricle of Human Heart by Fluid-Dynamics Modeling.
- Amiel JB, Ana G, Gwenaelle L, Marc C, Bruno F, Nicolas P, Anthony D, Benoît M, dan Philippe V. (2012). Assessment of left ventricular ejection fraction using an ultrasonic stethoscope in critically ill patients. *Critical Care*. 16: 1-7.
- Arifin, W. N., dan Zahiruddin, W. M. (2017). Sample size calculation in animal studies using resource equation approach. *Malaysian Journal of Medical Sciences*. 24(5): 101–105.
- Ario, D., dan Budipramana, V. S. (2011). Kebutuhan Optimal Cairan Ringer Laktat untuk Resusitasi Terbatas (Permissive Hypotension) pada Syok Perdarahan Berat yang Menimbulkan Kenaikan Laktat Darah Paling Minimal The Optimum Need of Ringer Lactat Fluid for Limited Resusitation (Permissive Hypoten. *Journal of Emergency*. 1(1): 31–37.
- Baumgartner C, Bollerhey M, Ebner J, Laacke-Singer L, Schuster T, Erhardt W. (2010). Effects of ketamine–xylazine intravenous bolus injection on cardiovascular function in rabbits. *Can J Vet Res*. 74: 200-208.
- Barletta, M., Barletta, P., Meineri, G., dan Bosco, S. (2013). The effects of ketamine and xylazine on heart rate and arterial blood pressure in rabbits. *J Am Assoc Lab Anim Sci*. 52(2): 185–188.
- Beeston, D., J. Charnock, dan S. Cook. (2020). Current Fluid and Blood Product Availability in Veterinary Setting: A Survey of UK Small Animal practices. *Journal of Small Animal Practice*. 61(12): 738–43
- esh, R., Masouleh, M. N., Khaksar, E., dan Bokaie, S. (2020). leasurement of M-mode and B-mode echocardiographic Reference values in Domestic rabbits 'Oryctolagus cuniculus'. *International*



*Journal of Pharmaceutical and Phytopharmacological Research (eIJPPR)*. 10(6): 174-181.

Bereda, G. (2021). Shock: Pathophysiology, Stage, Classification, and Treatment. *Pathology and Laboratory Medicine*. 5(2): 50–55.

Boon JA. (2011). *Veterinary Echocardiography*. Second Editin. Blackwell Scientific. United Kingdom.

Boyd, C. J., Brainard, B. M., dan Smart, L. (2021). Intravenous Fluid Administration and the Coagulation System. *Frontiers in Veterinary Science*. 8(2021): 1-14

Brekke, I. J., Puntervoll, L. H., Pedersen, P. B., Kellett, J., dan Brabrand, M. (2019). The value of vital sign trends in predicting and monitoring clinical deterioration: A systematic review. *PLoS ONE*. 14(11): 1–13.

Butler, F., Holcomb, J. B., Schreiber, M. A., Kotwal, R., Jenkins, D., Champion, H., Bowling, F., Cap, A., Dubose, J., Dorlac, W., Dorlac, G., McSwain, N., Timby, J., Blackbourne, L., Stockinger, Z., Strandenes, G., Weiskopf, R., Gross, K., dan Bailey, J. (2014). A Fluid Resuscitation for Hemorrhagic Shock in Tactical Combat Casualty Care. *Journal of Special Operations Medicine*. 14(1): 13–38.

Cannon, J. (2018). Hemorrhagic Shock. *The New England Journal of Medicine*. 378(4): 370–379.

Carrara, M., Babini, G., Baselli, G., Ristagno, G., Pastorelli, R., Brunelli, L., dan Ferrario, M. (2018). Blood pressure variability, heart functionality, and left ventricular tissue alterations in a protocol of severe hemorrhagic shock and resuscitation. *Journal of Applied Physiology*. 125(4): 1011-1020.

Casamian-Sorrosal D, Saunders R, Browne WJ, Elliott S, dan Fonfara S. (2014). M-mode, two- dimensional and doppler echocardiographic findings in 40 healthy domestic pet rabbits. *J Vet Cardiol*. 16: 101-108.

Cerbu, M., Cerbu, C., dan Papuc, I. (2023). M-Mode Echocardiography in Canine Veterinary Practice: A Comprehensive Review of Left Ventricular Measurements in 44 Different Dog Breeds. *Animals*. 13(18): ~986.



, S., dan Cabrales, P. (2011). Cardiac systolic function recovery after hemorrhage determines survivability during shock. *Journal of Trauma and Acute Care Surgery*. 70(4): 787-793.

- D'Annunzio, V., Donato, M., Fellet, A., Buchholz, B., Arciuch, V. G. A., Carreras, M. C., ... dan Gelpi, R. J. (2012). Diastolic function during hemorrhagic shock in rabbits. *Molecular and cellular biochemistry*. 359: 169-176.
- Daghash. (2017). Morphometric study on the tongue of White New Zealand Rabbit (Oryctolagus cuniculus) with special reference to its arterial supply. *Pharmaceutical, Biological and Chemical Sciences*. 8(3): 1–16.
- Dewi, N. H., Rustiawati, E., dan Sulastri, T. (2021). Perbedaan Tekanan Darah Antara Hidrasi Preload Dengan Tanpa Preload Cairan Ringer Laktat Pada Pasien Pasca Anestesi Spinal Di Instalasi Bedah Sentral RSUD Dr. Dradjat Prawiranegara Serang. 2(1): 8.
- Dewi, T. I. T., Gunanti, D. N., dan Noviana, D. (2018). Ekhokardiografi Kinerja Jantung Kelinci pada Anastesi Ketamin yang Dikombinasikan dengan Xylazin, Medetomidin, atau Acepromazin (Heart Rabbit Performance Echocardiography In Ketamine Anesthesia Combined With Xylazine, Medetomidine, Or Acepromazine). *Jurnal Veteriner Juni*. 19(2): 276-283.
- Elansary, N. N., Stonko, D. P., Treffalls, R. N., Abdou, H., Madurska, M. J., dan Morrison, J. J. (2022). Class of hemorrhagic shock is associated with progressive diastolic coronary flow reversal and diminished left ventricular function. *Frontiers in Physiology*. 13: 1033784.
- Fegita, P., dan Satria, P. H. (2018). Hemorrhagic Post Partum: Syok Hemorrhagic Ec Late Hemorrhagic Post Partum. *Jurnal Kesehatan Andalas*. 7(4): 71–75.
- Finfer, S. R., dan Vincent, J.-L. (2013). Circulatory shock. *Medicine (United Kingdom)*. 369(1): 1726–1734.
- Fitri, A., Noviana, D., dan Suprayogi, A. (2020). Penilaian Fungsi dan Dinamika Kerja Jantung melalui Ekokardiografi terhadap Pengaruh Kombinasi Anestesia Umum pada Babi Domestik (*Sus domesticus*). *Acta VETERINARIA Indonesiana*. 8(3): 22-30.
- Fitria, N., dan Chair, I. (2023). Trendelenburg Modifikasi Sebagai Upaya untuk Memperbaiki Status Hemodinamik pada Pasien Syok Hemoragik Grade "1": Studi Kasus. *Journal of Health Science and Policy*. 1(2): 70–79.
- si, L. (2021). *The Genetics and Genomics of The Rabbit*. CABI.



- Giannico AT, Garcia DAA, dan Lima L. (2015). Penentuan parameter jantung ekokardiografi, elektrokardiografi, dan radiografi normal pada kelinci putih Selandia Baru yang sadar. *J Obat Hewan Peliharaan Eksotis*. 24 (2): 223–234.
- Golla, R., Kumar, S., Dhibhar, D. P., Bhalla, A., dan Sharma, N. (2022). 0.9% saline V/S Ringer's lactate for fluid resuscitation in adult sepsis patients in emergency medical services: an open-label randomized controlled trial. *Hong Kong Journal of Emergency Medicine*. 29(5): 271-280.
- Górka, A., Kostro, K., dan Szczubiał, M. (2016). Changes in heart rate variability in dogs with hemorrhagic shock. *Pol J Vet Sci*. 19(1): 38–39.
- Gutierrez, G., Reines, H. D., dan Wulf-Gutierrez, M. E. (2014). Clinical review: Hemorrhagic shock. *Critical Care*. 8(5): 373–381.
- Häggström, J., Andersson, Å. O., Falk, T., Nilsfors, L., Olsson, U., Kresken, J. G., dan Ljungvall, I. (2016). Effect of body weight on echocardiographic measurements in 19,866 pure-bred cats with or without heart disease. *Journal of Veterinary Internal Medicine*. 30(5): 1601-1611.
- Hardisman, H. (2013). Memahami Patofisiologi dan Aspek Klinis Syok Hipovolemik: Update dan Penyegar. *Jurnal Kesehatan Andalas*. 2(3): 178–182.
- He, H., Liu, D., dan Ince, C. (2018). Colloids and the Microcirculation. *Anesthesia & Analgesia*. 126(5): 1747-1754.
- Hermawan, T., Sutaryo, dan Purnomoadi, A. (2016). Pengaruh Pemberian Pakan dengan Perbedaan Sumber Energi Terhadap Produksi Biogas dari Feses Kelinci New Zealand White Betina. *Prosiding Seminar Nasional Peternakan Berkelanjutan*. 8(1): 493–496.
- James, J. H., Luchette, F. A., McCarter, F. D., dan Fischer, J. E. (1999). Lactate is an unreliable indicator of tissue hypoxia in injury or sepsis. *The lancet*. 354(9177): 505-508.
- Johnson, L. A. M. (2020). *Applied Pharmacology for Veterinary Technicians* (6th ed.). Elsevier.

Laksmi, I.A.A. Analisis Korelasi Waktu Pemberian Resusitasi Cairan Terhadap Mortalitas Pasien Luka Bakar Berat Fase Emergency. *Jurnal Dunia Kesehatan*. 5(2): 11-14.



- Luo Y., Qingqing P., dan Fang L. 2020. Decreased 68Ga-NOTA-exendin-4 renal uptake in patients pretreated with Gelofusine infusion: a randomized controlled study. *Journal of Pancreatology*. 3(3): 161-166.
- McDonough, K. H., Giaimo, M., Quinn, M., dan Miller, H. (2011). Intrinsic myocardial function in hemorrhagic shock. *Shock*. 11(3): 205-210.
- Marini RP, Li X., dan Harpster NK. (2011). Patologi kardiovaskular kemungkinan berhubungan dengan anestesi ketamin/xylazine pada kelinci berikat Belanda. *Lab Anim Sci*. 49: 153–160.
- Matsuda, Y., Shibata, Y., Basaki, K., Fukuda, Y., Takaki, N., Maeda, T., Hirao, M., Yano, M., Higashiya, M., Obata, T., Seki, S., dan Nishijima, K. (2019). Characteristic features of newly established specific pathogen-free albino large rabbit (JW-AKT): Comparison with Japanese white and new Zealand white rabbits. *Journal of Veterinary Medical Science Journal of exotic pet medicine*. 81(5): 739–743.
- Mazzaferro, Elisa. (2013). *Small Animal Fluid Therapy, Acid-Base and Electrolyte Disorders: A Color Handbook*. UK: Manson Publishing.
- Melillo, A. (2019). Rabbit clinical pathology. 16(3): 135-145.
- Meredith, A., dan Lord, B. (2016). *BSAVA Manual of Rabbit Medicine* (Issue September). British Small Animal Veterinary Association.
- Moore, H. B., dan Moore, E. E. (2018). Posttraumatic Hemorrhagic shock. In *Abernathy's Surgical Secrets: Seventh Edition* (7th ed.). Elsevier.
- Mulyani, G.T. , Budhi, S., dan Kurnia. (2021). Identifikasi Tipe Dehidrasi dan Profil Elektrolit Mayor pada Pasien Kucing di Rumah Sakit Hewan Prof. Soeparwi dan Beberapa Klinik Hewan di Wilayah Yogyakarta. *Jurnal Sain Veteriner*. 39(3): 272-276.
- Murti, Ariani Trisna, Karunia Setyowati Suroto, dan Hidayati Karamina. (2020). "Pengaruh Faktor Produksi Terhadap Minat Usaha Penggemukan Kelinci Pedaging Di Kota Wisata Batu. *Jurnal Ilmiah Fillia Cendekia*. 5(2): 77–84
- Mutiarahmi, C. N., Hartady, T., dan Lesmana, R. (2021). Use of Mice As Experimental Animals in Laboratories That Refer To the Principles of Animal Welfare: a Literature Review. *Indonesia Medicus Veterinus*, 2(1).
- AL, Muzzi LAL, Araújo RB, dan Cherem M. (2006). Echocardiographic dices in norma German shepherd dogs. *J Vet Sci* 7 (2): 193-198.



- Onuma M., Ono S., dan Ishida T. (2010). Pengukuran radiografi ukuran jantung pada 27 kelinci. *J Dokter Hewan Med Sci.* 72(4): 529–531.
- Pachon RE, Scharf BA, Vatner DE, Vatner SF. (2015). Best anesthetics for assessing left ventricular systolic function by echocardiography in mice. *Am J Physiol Heart.* 308(12): 1525-1529.
- Pasaribu, H. (2018). Mikrosirkulasi Pada Resusitasi Cairan. *JIK.* 12(2): 63-71.
- Pasolini MP, Lamagna B, Meomartino L, Mennonna G, Auletta L, Esposito L, Cuomo A. (2013). Acepromazine-dexmedetomidineketamine for injectable anaesthesia in captive European brown hares (*Lepus europaeus*). *Vet Anaesth Analg.* 40(6): 610-614.
- Penninck D, Andre'd'Anjou M. (2015). *Atlas of Small Animal Ultrasonography* 2nded. Wiley Blackwellowa (USA).
- Plumb, D.C. (2008). *Plumb's Veterinary Drug Handbook 6th Edition.* Vancouver: Blackwell Publishing.
- Posangi I. (2012). Penatalaksanaan Cairan Perioperatif Pada Kasus Trauma. *Jurnal Biomedik.* 4 (1): 5-12.
- Procter, L., D. (2022). Intravenous Fluid Resuscitation. Virginia Commonwealth University School of Medicine.
- Quensenberry, K., Orcutt, C. J., Mans, C., dan Carpenter, J. W. (2021). Ferrets, Rabbits, and Rodents Clinical Medicine and Surgery. In Elsevier. Elsevier Inc.
- Rönn, T., Lendemans, S., De Groot, H., dan Petrat, F. (2011). A new model of severe hemorrhagic shock in rats. *Comparative Medicine.* 61(5): 419–426.
- Rueddel D.O.T., Vlasakov V., Reinhart K., Jaeschke R., Rueddel H., Hutagalung R., Stacke A., dan Hartog C.S. (2012). Safety of GELATIN for volume resuscitation—a systematic review and meta-analysis. *Intensive Care Med.* 38(1): 1134–1142.
- Segni, E., Preisman, S., Ohad, D. G., Battier, A., Boyko, V., Kaplinsky, E., dan 'ered, Z. (1997). Echocardiographic left ventricular remodeling and pseudohypertrophy as markers of hypovolemia. An experimental study in bleeding and volume repletion. *Journal of the American Society of Echocardiography.* 10(9): 926-936.



- Sherwood, L. (2019). *Fisiologi Tubuh dari Sel ke Sistem*. Jakarta: EGC.
- Siagian, T. B., Henny E. A., M Fakhrul U., dan Deni N. (2014). Motion Mode Ekhokardiografi Domba Garut. *Prosiding Konferensi Ilmiah Veteriner Nasional (KIVNAS)*. 1(2) : 35-36.
- Siallagan, S., dan Gunanti, N. D. (2014). Gambaran fungsi jantung kelinci domestik secara ekhokardiogram pada anestesi propofol dan isoflurane jangka panjang. *Jurnal Veteriner*. 15(2): 230-238.
- Silvertain, D.C. dan Hopper K. (2015). *Small Animal Critical Care Medicine*. Elsevier: US.
- Sivanesan S.S., Mohammad A.K.A., Elena K.S., Maizbha U.A., Jiayuan H., Jiping W., Jian L., Roger L.A., dan Tony V. (2017). Gelofusine Ameliorates Colistin-Induced Nephrotoxicity. *Antimicrobial Agents and Chemotherapy*. 61(12): 1-7.
- Srinivasan A, Kim J, Khalique O, Geevarghese A, Rusli M, Shah T, Devereux, RB. (2017). Echocardiographic linear fractional shortening for quantification of right ventricular systolic function A cardiac magnetic resonance validation.
- Suartha, I. N. (2010). Terapi cairan pada Anjing dan Kucing. *Buletin Veteriner Udayana*. 2(2): 69–83.
- Supandji, M., Budipratama, D., dan Pradian, E. (2015). Strategi Resusitasi pada Traumatik Syok Hemoragik Resuscitative Strategies in Traumatic Hemorrhagic Shock. *Anesthesia & Critical Care*. 33(3): 218–225.
- Sukarata, I.P.R.D dan I Putu K. 2017. *Terapi Cairan*. Bali: Universitas Udayana.
- Tafwid, Muhamad Iqbal. (2015). Tatalaksana Syok Hipovolemik Et Causa Suspek Intra Abdominal Hemorrhagic Post Sectio Caesaria. *J Agromed Unila*.
- Tello, L dan Perez-Freyter, R. (2017). Fluid and Electrolyte Therapy During Vomiting and Diarrhea. *Vet Clin Small Anim*. 2(3) :203–10.
- Teloh, J. K., Ferenz, K. B., Petrat, F., Mayer, C., dan de Groot, H. (2013). Acid-base and Electrolyte Status during Normovolemic Hemodilution with Uccinylated Gelatin or HES-Containing Volume Replacement Solutions in Rats. *PLoS ONE*. 8(9): 1-10.



Thomas, John A., dan Philip Lerche. (2017). *Anesthesia and Analgesia for Veterinary Technicians*. ELSEVIER.

Vasconcellos, H. D., Saad, K. R., Saad, P. F., Otsuki, D. A., Ciuffo, L. A., Lester, L., dan de Souza Montero, E. F. (2022). Assessment of left ventricle myocardial deformation in a hemorrhagic shock swine model by two-dimensional speckle tracking echocardiography. *Journal of Trauma and Acute Care Surgery*. 93(6): 838-845.

Wall, J., Naganathar, S., Praditsuktavorn, B., Bugg, O. F., McArthur, S., Thiemermann, C., dan Brohi, K. (2019). Modeling cardiac dysfunction following traumatic hemorrhage injury: impact on myocardial integrity. *Frontiers in Immunology*. 10: 2774.

Wang, L., Lou, J., Cao, J., Wang, T., Liu, J., dan Mi, W. (2021). Bicarbonate Ringer's solution for early resuscitation in hemorrhagic shock rabbits. *Annals of Translational Medicine*. 9(6) : 21-97.

Ware WA. (2011). *Cardiovascular Disease in Small Animal Medicine*. London (UK): Manson Publishing.

Widiyatno, Y., dan Muniroh, L. (2018). Dampak Pemberian Minyak Goreng Mengandung Residu Plastik Isopropyl terhadap Blood Urea Nitrogen Creatine Tikus Putih Galur Wistar. *Agroveteriner*. 7(1): 15–24.





Optimized using  
trial version  
[www.balesio.com](http://www.balesio.com)

## LAMPIRAN

Lampiran 1. Hasil data penelitian dan analisis data

<b>KEL</b>	<b>WKT</b>	<b>HR</b>	<b>IVSd</b>	<b>IVSs</b>	<b>LVIDd</b>	<b>LVIDs</b>	<b>LVPWd</b>	<b>LVPWs</b>
KN-K2	T1	177.67	0.21	0.24	1.00	0.68	0.30	0.41
	T2	163.33	0.25	0.26	0.93	0.64	0.33	0.38
	T3	159.00	0.21	0.26	0.93	0.65	0.32	0.38
KN-K7	T1	191.00	0.18	0.23	1.09	0.85	0.25	0.32
	T2	181.67	0.19	0.23	1.18	0.86	0.28	0.34
	T3	176.00	0.19	0.23	1.12	0.87	0.26	0.34
KN-K5	T1	182.33	0.18	0.23	1.14	0.84	0.23	0.26
	T2	173.00	0.18	0.21	1.16	0.87	0.23	0.25
	T3	176.00	0.19	0.22	1.14	0.84	0.22	0.25
KP-K8	T1	160.67	0.23	0.28	1.29	0.99	0.30	0.41
	T2	133.00	0.30	0.33	1.17	0.84	0.35	0.40
	T3	159.33	0.25	0.27	1.20	1.03	0.42	0.45
KP-K9	T1	212.33	0.19	0.24	0.94	0.63	0.33	0.37
	T2	163.67	0.26	0.28	0.89	0.67	0.37	0.41
	T3	173.33	0.23	0.26	0.76	0.54	0.39	0.45
KP-K10	T1	134.67	0.19	0.21	1.24	0.92	0.28	0.34
	T2	149.33	0.32	0.36	0.77	0.66	0.29	0.34
	T3	147.67	0.32	0.40	0.78	0.46	0.34	0.51
RL-K6	T1	215.67	0.22	0.26	1.02	0.77	0.26	0.37
	T2	175.67	0.23	0.26	0.85	0.61	0.27	0.41
	T3	164.33	0.22	0.27	0.93	0.60	0.31	0.38
RL-K14	T1	227.00	0.28	0.35	1.02	0.68	0.30	0.38
	T2	203.67	0.32	0.38	0.85	0.53	0.33	0.39
	T3	160.67	0.30	0.35	0.89	0.48	0.32	0.50
RL-K16	T1	150.33	0.15	0.18	1.21	0.85	0.18	0.26
	T2	154.00	0.20	0.22	0.98	0.70	0.23	0.29
	T3	181.00	0.21	0.26	0.89	0.61	0.23	0.29
RL+G-K1	T1	184.33	0.24	0.36	1.09	0.58	0.40	0.51
	T2	140.67	0.29	0.37	1.16	0.61	0.27	0.45
	T3	137.67	0.26	0.38	1.11	0.58	0.32	0.46
RL+G-K4	T1	158.67	0.27	0.33	1.22	0.80	0.25	0.37
	T2	119.33	0.26	0.30	0.93	0.64	0.32	0.40
	T3	193.67	0.23	0.30	1.04	0.64	0.38	0.45
RL+G-	T1	198.67	0.21	0.23	1.39	1.05	0.25	0.42
	T2	143.33	0.22	0.26	1.32	0.93	0.30	0.40
	T3	139.33	0.20	0.25	1.37	0.97	0.37	0.47



<b>KEL</b>	<b>WKT</b>	<b>EDV</b>	<b>ESV</b>	<b>SV</b>	<b>CO</b>	<b>EF</b>	<b>FS</b>
KN-K2	T1	2.04	0.70	1.34	237.25	65.45	32.11
	T2	1.68	0.60	1.07	175.58	64.04	30.94
	T3	1.68	0.64	1.04	164.68	61.83	29.50
KN-K7	T1	2.60	1.32	1.27	243.48	49.08	22.02
	T2	3.24	1.37	1.87	338.02	57.51	27.30
	T3	2.77	1.41	1.36	239.44	49.13	22.10
KN-K5	T1	2.95	1.30	1.66	302.33	56.15	26.24
	T2	3.05	1.40	1.65	285.57	54.19	25.07
	T3	2.91	1.28	1.63	286.84	55.71	26.04
KP-K8	T1	4.10	2.00	2.10	336.76	51.06	23.44
	T2	3.12	1.27	1.85	245.94	59.25	28.27
	T3	3.39	2.25	1.14	181.49	33.43	14.09
KP-K9	T1	1.74	0.59	1.16	245.77	66.08	32.54
	T2	1.49	0.68	0.81	132.57	54.52	24.88
	T3	0.96	0.37	0.59	102.53	61.49	29.06
KP-K10	T1	3.67	1.63	2.04	274.83	55.62	26.07
	T2	1.00	0.66	0.35	51.79	32.11	13.51
	T3	1.03	0.24	0.79	116.61	76.29	40.30
RL-K6	T1	2.16	1.00	1.16	250.64	53.62	24.55
	T2	1.34	0.52	0.82	144.36	60.54	28.75
	T3	1.71	0.50	1.21	199.28	70.81	36.03
RL-K14	T1	2.19	0.72	1.47	333.02	66.90	33.22
	T2	1.31	0.35	0.96	196.51	73.15	37.73
	T3	1.50	0.27	1.23	197.59	81.99	46.07
RL-K16	T1	3.42	1.32	2.09	314.58	61.14	29.52
	T2	1.93	0.77	1.17	179.88	60.38	28.67
	T3	1.52	0.53	0.99	178.79	65.09	31.70
RL+G-K1	T1	2.60	0.47	2.13	392.97	82.07	46.49
	T2	3.05	0.52	2.53	355.84	82.87	47.52
	T3	2.76	0.46	2.30	316.57	83.08	47.79
RL+G-K4	T1	3.54	1.12	2.42	383.64	68.32	34.60
	T2	1.68	0.61	1.07	127.55	63.65	30.90
	T3	2.29	0.61	1.68	324.83	73.19	38.12
RL+G-K12	T1	4.97	2.37	2.60	516.20	52.08	24.17
	T2	4.30	1.72	2.58	370.20	60.21	29.15
	T3	4.75	1.90	2.85	397.16	59.77	28.97



## HR (bpm)

### 1. Normalitas

	Kolmogorov-Smirnov <sup>a</sup>			Shapiro-Wilk		
	Statistic	df	Sig.	Statistic	df	Sig.
Standardized Residual for HR	.067	36	.200*	.991	36	.991

0.991 >  $\alpha$  (0.05) sehingga data HR berdistribusi normal

### 2. Homogenitas

HR		Levene Statistic	df1	df2	Sig.
Based on Mean		2.673	11	24	.211
Based on Median		.556	11	24	.844
Based on Median and with adjusted df		.556	11	9.312	.823
Based on trimmed mean		2.432	11	24	.033

0.211 >  $\alpha$  (0.05) sehingga data HR homogen

### 3. Anova Two Way

Source	Type III Sum of Squares	df	Mean Square	F	Sig.
Corrected Model	9275.194 <sup>a</sup>	11	843.199	1.622	.155
Intercept	1020776.812	1	1020776.812	1963.442	<.001
Perlakuan	3824.457	3	1274.819	2.452	.088
Waktu	3915.755	2	1957.877	3.766	.038
Perlakuan * Waktu	1534.982	6	255.830	.492	.808
Error	12477.394	24	519.891		
Total	1042529.400	36			
Corrected Total	21752.588	35			

- Diperoleh nilai  $0.088 > \alpha$  (0.05) maka  $H_0$  diterima, sehingga variasi perlakuan tidak memberikan pengaruh terhadap nilai HR (bpm)
- Diperoleh nilai  $0.038 < \alpha$  (0.05) maka  $H_0$  ditolak, sehingga variasi waktu memberikan pengaruh terhadap nilai HR (bpm)
- Diperoleh nilai  $0.808 > \alpha$  (0.05) maka  $H_0$  diterima, sehingga interaksi variasi perlakuan dan waktu tidak memberikan pengaruh terhadap nilai HR (bpm)

### 4. Uji Lanjutan

#### DUNCAN

Perlakuan	N	Subset for alpha = 0.05	
		1	
RL+G	9	157.2967	
KP	9	159.3333	
KN	9	175.5556	
	9	181.3711	
		.055	



**a) KN**

Subset for alpha = 0.05			
	HR	N	1
Duncan <sup>a</sup>	T3	3	170.3333
	T2	3	172.6667
	T1	3	183.6667
	Sig.		.119

**b) KP**

Subset for alpha = 0.05			
	HR	N	1
Duncan <sup>a</sup>	T2	3	148.6667
	T3	3	160.1100
	T1	3	169.2233
	Sig.		.377

**c) RL**

Subset for alpha = 0.05			
	HR	N	1
Duncan <sup>a</sup>	T3	3	168.6667
	T2	3	177.7800
	T1	3	197.6667
	Sig.		.274

**d) RL+G**

Subset for alpha = 0.05			
	HR	N	1
Duncan <sup>a</sup>	T2	3	134.4433
	T3	3	156.8900
	T1	3	180.5567
	Sig.		.056

- Perbedaan letak nilai subset menunjukkan tingkat perbedaan antarvariasi
- Nilai yang terletak pada kolom subset yang sama menunjukkan tidak adanya perbedaan yang signifikan antara variasi

LSD								
Dependent Variable				Mean	95% Confidence Interval			
		(I) HR	(J) HR	Difference (I-J)	Std. Error	Sig.	Lower Bound	Upper Bound
KN	LSD	T1	T2	11.00000	7.09096	.172	-6.3510	28.3510
			T3	13.33333	7.09096	.109	-4.0176	30.6843
		T2	T1	-11.00000	7.09096	.172	-28.3510	6.3510
			T3	2.33333	7.09096	.753	-15.0176	19.6843
		T3	T1	-13.33333	7.09096	.109	-30.6843	4.0176
			T2	-2.33333	7.09096	.753	-19.6843	15.0176
	LSD	T1	T2	20.55667	20.88698	.363	-30.5519	71.6653
			T3	9.11333	20.88698	.678	-41.9953	60.2219
		T2	T1	-20.55667	20.88698	.363	-71.6653	30.5519



			T3	-11.44333	20.88698	.604	-62.5519	39.6653
		LSD	T3 T1	-9.11333	20.88698	.678	-60.2219	41.9953
			T2	11.44333	20.88698	.604	-39.6653	62.5519
RL			T1 T2	19.88667	23.33434	.427	-37.2104	76.9837
			T3	29.00000	23.33434	.260	-28.0971	86.0971
		LSD	T2 T1	-19.88667	23.33434	.427	-76.9837	37.2104
			T3	9.11333	23.33434	.710	-47.9837	66.2104
RL+G			T3 T1	-29.00000	23.33434	.260	-86.0971	28.0971
			T2	-9.11333	23.33434	.710	-66.2104	47.9837
		LSD	T1 T2	46.11333	18.85042	.050	-.0120	92.2386
			T3	23.66667	18.85042	.256	-22.4586	69.7920
		LSD	T2 T1	-46.11333	18.85042	.050	-92.2386	.0120
			T3	-22.44667	18.85042	.279	-68.5720	23.6786
		LSD	T3 T1	-23.66667	18.85042	.256	-69.7920	22.4586
			T2	22.44667	18.85042	.279	-23.6786	68.5720

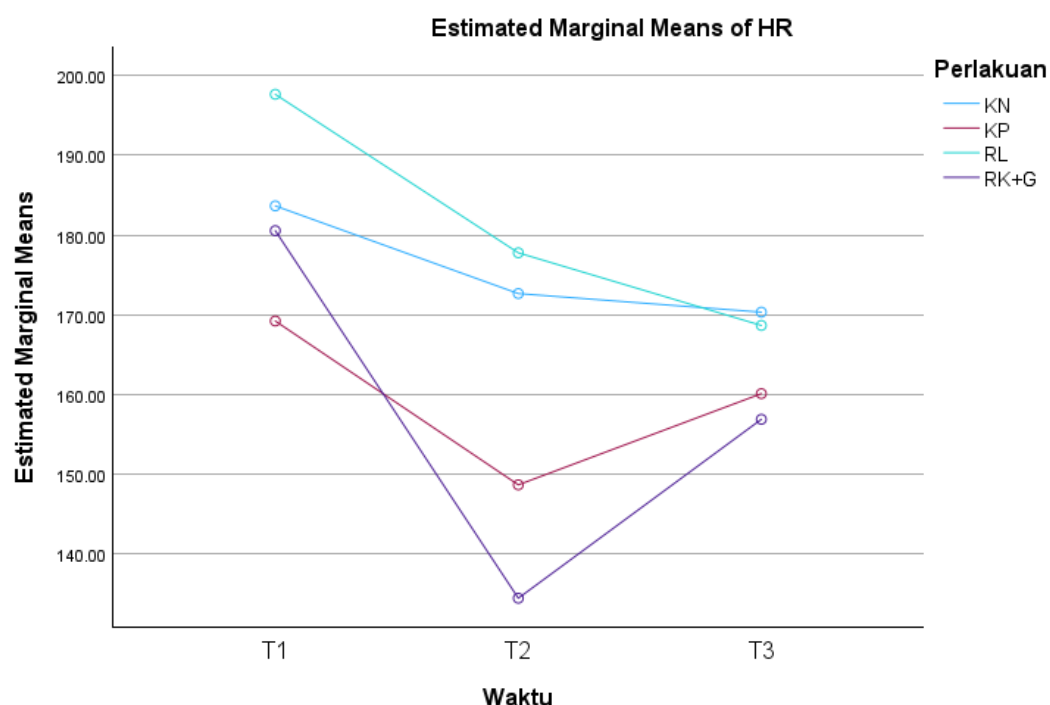
##### 5. Descriptive Statistics

Perlakuan	Waktu	Mean	Std. Deviation	N
KN	T1	183.6667	6.76478	3
	T2	172.6667	9.17454	3
	T3	170.3333	9.81495	3
	Total	175.5556	9.72598	9
KP	T1	169.2233	39.53022	3
	T2	148.6667	15.34576	3
	T3	160.1100	12.84777	3
	Total	159.3333	23.88245	9
RL	T1	197.6667	41.38432	3
	T2	177.7800	24.90213	3
	T3	168.6667	10.83662	3
	Total	181.3711	27.88358	9
RL+G	T1	180.5567	20.26520	3
	T2	134.4433	13.15593	3
	T3	156.8900	31.86323	3
	Total	157.2967	28.25873	9
Total	T1	182.7783	28.11803	12
	T2	158.3892	23.29468	12
	T3	164.0000	16.97836	12
	Total	168.3892	24.92995	36

Indikator	Perlakuan	Waktu			Mean Perlakuan
		T1	T2	T3	
	KN	183.67 ± 6.76	172.67 ± 9.17	170.33 ± 9.81	175.56
	KP	169.22 ± 39.53	148.67 ± 15.35	160.11 ± 12.85	159.33
	RL	197.67 ± 41.38	177.78 ± 24.90	168.67 ± 10.84	181.37
	RL+G	180.56 ± 20.27	134.44 ± 13.16	156.89 ± 31.86	157.30

Mean	182.78	158.39	164
Waktu			

- Huruf a dan b digunakan untuk menggambarkan ada atau tidaknya perbedaan yang nyata antar kelompok pada masing-masing indicator berdasarkan variasi perlakuan, waktu, dan interaksi perlakuan waktu.
- Kode huruf yang sama menandakan bahwa nilainya tidak berbeda nyata. Sebaliknya, kode huruf yang berbeda menandakan bahwa nilainya mengalami perbedaan yang nyata.



## IVSd (cm)

### 1. Normalitas

	Kolmogorov-Smirnov <sup>a</sup>			Shapiro-Wilk		
	Statistic	df	Sig.	Statistic	df	Sig.
Standardized Residual for IVSd	.108	36	.200*	.971	36	.459

0.459 >  $\alpha$  (0.05) sehingga data IVSd berdistribusi normal

### 2. Homogenitas

IVSd		Levene Statistic	df1		df2		Sig.
			df1	df2	df1	df2	
IVSd	Based on Mean	1.333	11	24	11	24	.267
	Based on Median	.436	11	24	11	24	.924
	Based on Median and with adjusted df	.436	11	15.032	11	15.032	.915
	Based on trimmed mean	1.251	11	24	11	24	.309

0.267 >  $\alpha$  (0.05) sehingga data IVSd homogen

### 3. Anova Two Way

Source	Type III Sum of Squares					Sig.
		df	Mean Square	F		
Corrected Model	.032 <sup>a</sup>	11	.003	1.843		.102
Intercept	1.951	1	1.951	1221.294		<.001
Perlakuan	.016	3	.005	3.379		.035
Waktu	.009	2	.005	2.892		.075
Perlakuan * Waktu	.007	6	.001	.726		.633
Error	.038	24	.002			
Total	2.021	36				
Corrected Total	.071	35				

- Diperoleh nilai  $0.035 < \alpha$  (0.05) maka  $H_0$  ditolak, sehingga variasi perlakuan memberikan pengaruh terhadap nilai IVSd (cm)
- Diperoleh nilai  $0.075 > \alpha$  (0.05) maka  $H_0$  diterima, sehingga variasi waktu tidak memberikan pengaruh terhadap nilai IVSd (cm)
- Diperoleh nilai  $0.633 > \alpha$  (0.05) maka  $H_0$  diterima, sehingga interaksi variasi perlakuan dan waktu tidak memberikan pengaruh terhadap nilai IVSd (cm)

### 4. Uji Lanjutan

#### DUNCAN

Perlakuan	N	Subset	
		1	2
KN	9	.1978	
RL	9		.2367
PL+C	9		.2422
	9		.2544
		1.000	.382



**a) KN**

Subset for alpha = 0.05					
	WKT	N	1		
Duncan <sup>a</sup>	T1	3	.1900		
	T3	3	.1967		
	T2	3	.2067		
	Sig.		.458		

**b) KP**

Subset for alpha = 0.05					
	WKT	N	1	2	
Duncan <sup>a</sup>	T1	3	.2033		
	T3	3	.2667	.2667	
	T2	3		.2933	
	Sig.		.069	.388	

**c) RL**

Subset for alpha = 0.05					
	WKT	N	1		
Duncan <sup>a</sup>	T1	3	.2167		
	T3	3	.2433		
	T2	3	.2500		
	Sig.		.530		

**d) RL+G**

Subset for alpha = 0.05					
	WKT	N	1		
Duncan <sup>a</sup>	T3	3	.2300		
	T1	3	.2400		
	T2	3	.2567		
	Sig.		.358		

- Perbedaan letak nilai subset menunjukkan tingkat perbedaan antarvariasi
- Nilai yang terletak pada kolom subset yang sama menunjukkan tidak adanya perbedaan yang signifikan antara variasi

**LSD**

Dependent Variable	(I) WKT	(J) WKT	Mean				95% Confidence Interval		Upper Bound
			Difference (I-J)	Std. Error	Sig.	Lower Bound			
KN	LSD	T1	.1900	.02037	.458	.1900	-.0665	.0332	
		T2	.1967	.02037	.755	.1967	-.0565	.0432	
		T3	.2067	.02037	.444	.2067	-.0332	.0665	
		T2	.2033	.02037	.641	.2033	-.0398	.0598	
		T3	.2667	.02037	.755	.2667	-.0432	.0565	
		T1	.2433	.02037	.444	.2433	-.0398	.0598	
		T2	.2500	.02037	.641	.2500	-.0432	.0565	
		T3	.2167	.02037	.444	.2167	-.0665	.0332	
SD		T1	.2400	.02037	.444	.2400	-.0332	.0665	
		T2	.2567	.02037	.641	.2567	-.0398	.0598	
		T3	.358	.02037	.444	.358	-.0398	.0598	
		T1	.2300	.02037	.444	.2300	-.0665	.0332	



		T3		-.06333	.02867	.069	-.1335	.0068
		T2	T1	.09000*	.02867	.020	.0198	.1602
			T3	.02667	.02867	.388	-.0435	.0968
		T3	T1	.06333	.02867	.069	-.0068	.1335
			T2	-.02667	.02867	.388	-.0968	.0435
RL	LSD	T1	T2	-.03333	.04846	.517	-.1519	.0852
			T3	-.02667	.04846	.602	-.1452	.0919
		T2	T1	.03333	.04846	.517	-.0852	.1519
			T3	.00667	.04846	.895	-.1119	.1252
		T3	T1	.02667	.04846	.602	-.0919	.1452
			T2	-.00667	.04846	.895	-.1252	.1119
RL+G	LSD	T1	T2	-.01667	.02596	.545	-.0802	.0469
			T3	.01000	.02596	.713	-.0535	.0735
		T2	T1	.01667	.02596	.545	-.0469	.0802
			T3	.02667	.02596	.344	-.0369	.0902
		T3	T1	-.01000	.02596	.713	-.0735	.0535
			T2	-.02667	.02596	.344	-.0902	.0369

##### 5. Descriptive Statistics

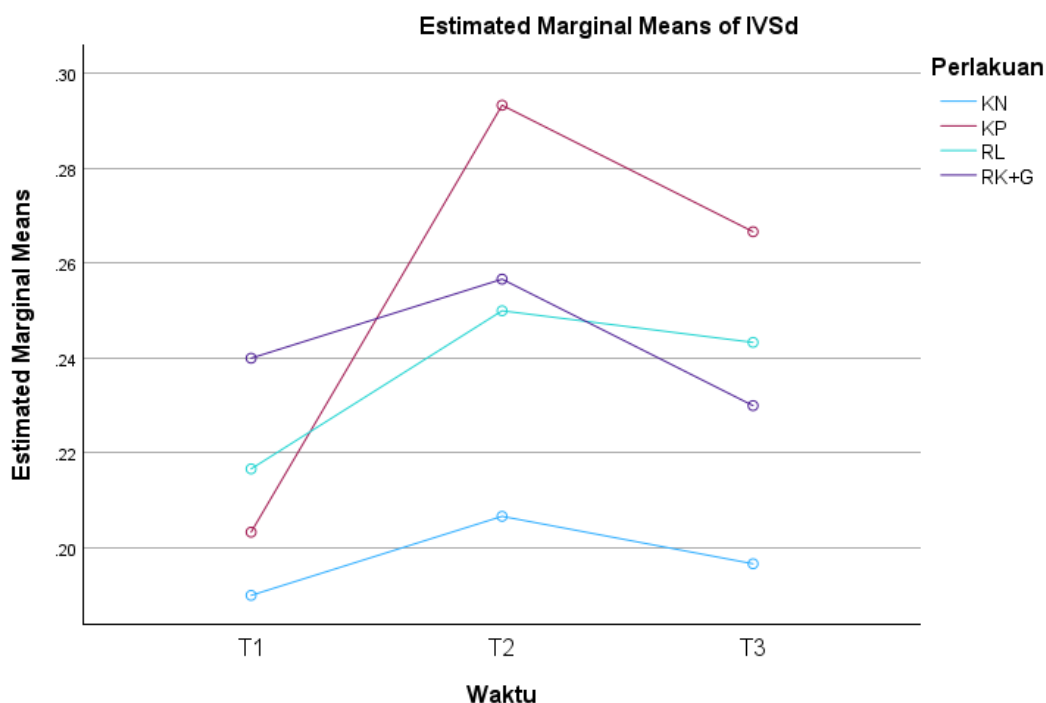
Perlakuan	Waktu	Mean	Std. Deviation	N
KN	T1	.1900	.01732	3
	T2	.2067	.03786	3
	T3	.1967	.01155	3
	Total	.1978	.02279	9
KP	T1	.2033	.02309	3
	T2	.2933	.03055	3
	T3	.2667	.04726	3
	Total	.2544	.05028	9
RL	T1	.2167	.06506	3
	T2	.2500	.06245	3
	T3	.2433	.04933	3
	Total	.2367	.05362	9
RL+G	T1	.2400	.03000	3
	T2	.2567	.03512	3
	T3	.2300	.03000	3
	Total	.2422	.02991	9
Total	T1	.2125	.03817	12
	T2	.2517	.04896	12
	T3	.2342	.04166	12
	Total	.2328	.04495	36



Perlakuan	Waktu			Mean Perlakuan
	T1	T2	T3	
KN	0.19 ± 0.02	0.21 ± 0.04	0.20 ± 0.01	0.20
KP	0.20 ± 0.02	0.29 ± 0.03	0.27 ± 0.05	0.25

RL	$0.22 \pm 0.07$	$0.25 \pm 0.06$	$0.24 \pm 0.05$	0.24
RL+G	$0.24 \pm 0.03$	$0.26 \pm 0.04$	$0.23 \pm 0.03$	0.25
Mean	0.21	0.25	0.23	
Waktu				

- Huruf a dan b digunakan untuk menggambarkan ada atau tidaknya perbedaan yang nyata antar kelompok pada masing-masing indicator berdasarkan variasi perlakuan, waktu, dan interaksi perlakuan waktu.
- Kode huruf yang sama menandakan bahwa nilainya tidak berbeda nyata. Sebaliknya, kode huruf yang berbeda menandakan bahwa nilainya mengalami perbedaan yang nyata.



## IVSs (cm)

### 1. Normalitas

	Kolmogorov-Smirnov <sup>a</sup>			Shapiro-Wilk		
	Statistic	df	Sig.	Statistic	df	Sig.
Standardized Residual for IVSs	.139	36	.075	.968	36	.378

0.378 >  $\alpha$  (0.05) sehingga data IVSs berdistribusi normal

### 2. Homogenitas

IVSs		Levene Statistic	df1		df2		Sig.
			df1	df2	df1	df2	
IVSs	Based on Mean	1.695	11	24	11	24	.135
	Based on Median	.492	11	24	11	24	.890
	Based on Median and with adjusted df	.492	11	13.236	11	13.236	.877
	Based on trimmed mean	1.579	11	24	11	24	.169

0.135 >  $\alpha$  (0.05) sehingga data IVSs homogen

### 3. Anova Two Way

Source	Type III Sum of Squares					Sig.
		df	Mean Square	F		
Corrected Model	.040 <sup>a</sup>	11	.004	1.130		.382
Intercept	2.806	1	2.806	869.961		<.001
Perlakuan	.028	3	.009	2.844		.059
Waktu	.006	2	.003	.855		.438
Perlakuan * Waktu	.007	6	.001	.364		.895
Error	.077	24	.003			
Total	2.923	36				
Corrected Total	.117	35				

- Diperoleh nilai  $0.059 > \alpha$  (0.05) maka  $H_0$  diterima, sehingga variasi perlakuan tidak memberikan pengaruh terhadap nilai IVSs (cm)
- Diperoleh nilai  $0.438 > \alpha$  (0.05) maka  $H_0$  diterima, sehingga variasi waktu tidak memberikan pengaruh terhadap nilai IVSs (cm)
- Diperoleh nilai  $0.895 > \alpha$  (0.05) maka  $H_0$  diterima, sehingga interaksi variasi perlakuan dan waktu tidak memberikan pengaruh terhadap nilai IVSs (cm)

### 4. Uji Lanjutan

#### DUNCAN

Perlakuan	N	Subset	
		1	2
KN	9	.2344	
RL	9	.2811	.2811
KP	9	.2922	.2922
			.3089
		.051	.337



**a) KN**

Subset for alpha = 0.05			
	WKT	N	1
Duncan <sup>a</sup>	T1	3	.2333
	T2	3	.2333
	T3	3	.2367
	Sig.		.843

**b) KP**

Subset for alpha = 0.05			
	WKT	N	1
Duncan <sup>a</sup>	T1	3	.2433
	T3	3	.3100
	T2	3	.3233
	Sig.		.134

**c) RL**

Subset for alpha = 0.05			
	WKT	N	1
Duncan <sup>a</sup>	T1	3	.2633
	T2	3	.2867
	T3	3	.2933
	Sig.		.649

**d) RL+G**

Subset for alpha = 0.05			
	WKT	N	1
Duncan <sup>a</sup>	T1	3	.3067
	T2	3	.3100
	T3	3	.3100
	Sig.		.952

- Perbedaan letak nilai subset menunjukkan tingkat perbedaan antarvariasi
- Nilai yang terletak pada kolom subset yang sama menunjukkan tidak adanya perbedaan yang signifikan antara variasi

**LSD**

Dependent Variable	(I) WKT	(J) WKT	Mean				95% Confidence Interval		Upper Bound
			Difference (I-J)	Std. Error	Sig.	Lower Bound			
KN	LSD	T1	.00000	.01563	1.000	-.0383	.0383		
		T2	-.00333	.01563	.838	-.0416	.0349		
		T3	.00000	.01563	1.000	-.0383	.0383		
	T2	T1	-.00333	.01563	.838	-.0416	.0349		
		T3	.00333	.01563	.838	-.0349	.0416		
		T1	.00333	.01563	.838	-.0349	.0416		
	T3	T2	.00333	.01563	.838	-.0349	.0416		
		T1	.00333	.01563	.838	-.0349	.0416		
		T2	.00333	.01563	.838	-.0349	.0416		
	LSD	T1	-.08000	.04464	.123	-.1892	.0292		



			T3	-.06667	.04464	.186	-.1759	.0426
		T2	T1	.08000	.04464	.123	-.0292	.1892
			T3	.01333	.04464	.775	-.0959	.1226
		T3	T1	.06667	.04464	.186	-.0426	.1759
			T2	-.01333	.04464	.775	-.1226	.0959
RL	LSD	T1	T2	-.02333	.06074	.714	-.1719	.1253
			T3	-.03000	.06074	.639	-.1786	.1186
		T2	T1	.02333	.06074	.714	-.1253	.1719
			T3	-.00667	.06074	.916	-.1553	.1419
		T3	T1	.03000	.06074	.639	-.1186	.1786
			T2	.00667	.06074	.916	-.1419	.1553
RL+G	LSD	T1	T2	-.00333	.05171	.951	-.1299	.1232
			T3	-.00333	.05171	.951	-.1299	.1232
		T2	T1	.00333	.05171	.951	-.1232	.1299
			T3	.00000	.05171	1.000	-.1265	.1265
		T3	T1	.00333	.05171	.951	-.1232	.1299
			T2	.00000	.05171	1.000	-.1265	.1265

##### 5. Descriptive Statistics

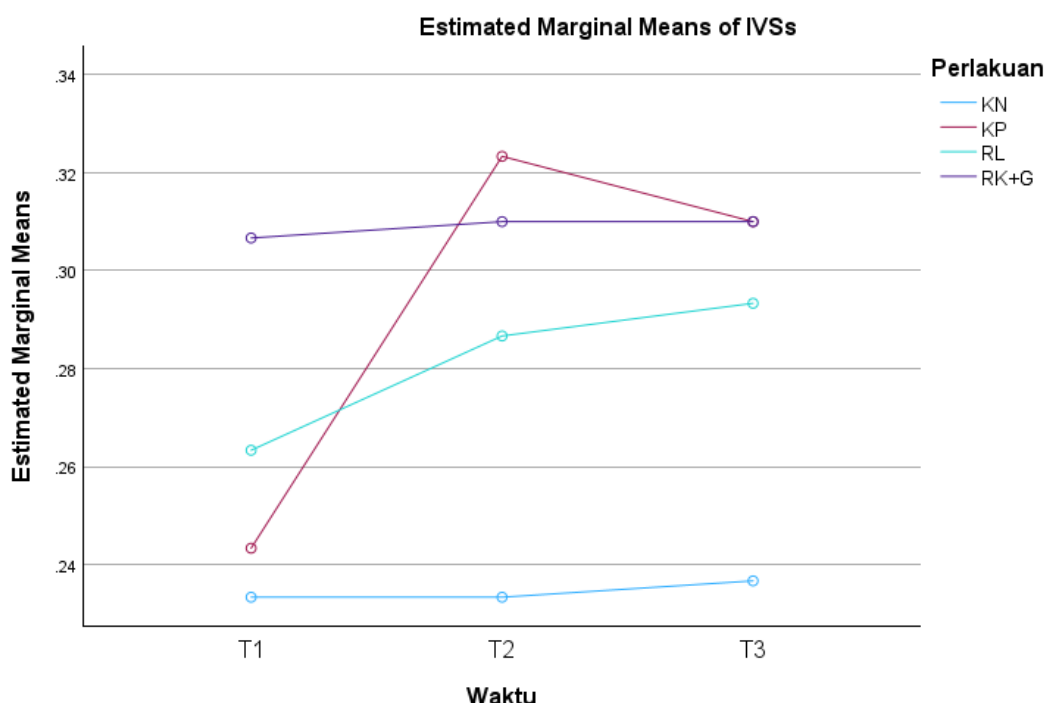
Perlakuan	Waktu	Mean	Std. Deviation	N
KN	T1	.2333	.00577	3
	T2	.2333	.02517	3
	T3	.2367	.02082	3
	Total	.2344	.01667	9
KP	T1	.2433	.03512	3
	T2	.3233	.04041	3
	T3	.3100	.07810	3
	Total	.2922	.06016	9
RL	T1	.2633	.08505	3
	T2	.2867	.08327	3
	T3	.2933	.04933	3
	Total	.2811	.06585	9
RL+G	T1	.3067	.06807	3
	T2	.3100	.05568	3
	T3	.3100	.06557	3
	Total	.3089	.05487	9
Total	T1	.2617	.05702	12
	T2	.2883	.05937	12
	T3	.2875	.05833	12
	Total	.2792	.05793	36



Perlakuan	Waktu			Mean Perlakuan
	T1	T2	T3	
KN	0.23 ± 0.01	0.23 ± 0.03	0.24 ± 0.02	0.23
KP	0.24 ± 0.04	0.32 ± 0.04	0.31 ± 0.08	0.29

RL	$0.26 \pm 0.09$	$0.29 \pm 0.08$	$0.29 \pm 0.05$	0.28
RL+G	$0.31 \pm 0.07$	$0.31 \pm 0.06$	$0.31 \pm 0.07$	0.31
Mean	0.26	0.29	0.29	
Waktu				

- Huruf a dan b digunakan untuk menggambarkan ada atau tidaknya perbedaan yang nyata antar kelompok pada masing-masing indicator berdasarkan variasi perlakuan, waktu, dan interaksi perlakuan waktu.
- Kode huruf yang sama menandakan bahwa nilainya tidak berbeda nyata. Sebaliknya, kode huruf yang berbeda menandakan bahwa nilainya mengalami perbedaan yang nyata.



## LVIDd (cm)

### 1. Normalitas

Tests of Normality						
	Kolmogorov-Smirnov <sup>a</sup>			Shapiro-Wilk		
	Statistic	df	Sig.	Statistic	df	Sig.
Standardized Residual for LVIDd	.101	36	.200*	.977	36	.634

0.634 >  $\alpha$  (0.05) sehingga data LVIDd berdistribusi normal

### 2. Homogenitas

Levene's Test of Equality of Error Variances <sup>a,b</sup>						
		Levene Statistic	df1	df2	Sig.	
LVIDd	Based on Mean	1.830	11	24	.105	
	Based on Median	.328	11	24	.971	
	Based on Median and with adjusted df	.328	11	13.338	.964	
	Based on trimmed mean	1.635	11	24	.152	

0.105 >  $\alpha$  (0.05) sehingga data LVIDd homogen

### 3. Anova Two Way

Source	Type III Sum of Squares	df	Mean Square	F	Sig.
Corrected Model	.032 <sup>a</sup>	11	.003	1.843	.102
Intercept	1.951	1	1.951	1221.294	<.001
Perlakuan	.016	3	.005	3.379	.035
Waktu	.009	2	.005	2.892	.075
Perlakuan * Waktu	.007	6	.001	.726	.633
Error	.038	24	.002		
Total	2.021	36			
Corrected Total	.071	35			

- Diperoleh nilai  $0.035 < \alpha$  (0.05) maka  $H_0$  ditolak, sehingga variasi perlakuan memberikan pengaruh terhadap nilai LVIDd (cm)
- Diperoleh nilai  $0.075 > \alpha$  (0.05) maka  $H_0$  diterima, sehingga variasi waktu tidak memberikan pengaruh terhadap nilai LVIDd (cm)
- Diperoleh nilai  $0.633 > \alpha$  (0.05) maka  $H_0$  diterima, sehingga interaksi variasi perlakuan dan waktu tidak memberikan pengaruh terhadap nilai LVIDd (cm)

### 4. Uji Lanjutan

#### DUNCAN

Perlakuan	N	Subset	
		1	2
RL	9	.9600	
KP	9	1.0044	
	9	1.0767	1.0767
	9		1.1811
		.143	.165



**a) KN**

Subset for alpha = 0.05			
	WKT	N	1
Duncan <sup>a</sup>	T3	3	1.0633
	T1	3	1.0767
	T2	3	1.0900
	Sig.		.787

**b) KP**

Subset for alpha = 0.05			
	WKT	N	1
Duncan <sup>a</sup>	T3	3	.9133
	T2	3	.9433
	T1	3	1.1567
	Sig.		.230

**c) RL**

Subset for alpha = 0.05				
	WKT	N	1	2
Duncan <sup>a</sup>	T2	3	.8933	
	T3	3	.9033	
	T1	3		1.0833
	Sig.		.880	1.000

**d) RL+G**

Subset for alpha = 0.05			
	WKT	N	1
Duncan <sup>a</sup>	T2	3	1.1367
	T3	3	1.1733
	T1	3	1.2333
	Sig.		.535

- Perbedaan letak nilai subset menunjukkan tingkat perbedaan antarvariasi
- Nilai yang terletak pada kolom subset yang sama menunjukkan tidak adanya perbedaan yang signifikan antara variasi

**LSD**

Dependent Variable	95% Confidence Interval							Upper Bound	
			Mean		Std. Error	Sig.	Lower Bound		
	(I)	WKT	(J)	WKT					
KN	LSD	T1	T2		-.01333	.09161	.889	-.2375 .2108	
			T3		.01333	.09161	.889	-.2108 .2375	
		T2	T1		.01333	.09161	.889	-.2108 .2375	
			T3		.02667	.09161	.781	-.1975 .2508	
		T3	T1		-.01333	.09161	.889	-.2375 .2108	
			T2		-.02667	.09161	.781	-.2508 .1975	



KP	LSD	T1	T2	.21333	.17619	.272	-.2178	.6445
			T3	.24333	.17619	.216	-.1878	.6745
		T2	T1	-.21333	.17619	.272	-.6445	.2178
			T3	.03000	.17619	.870	-.4011	.4611
		T3	T1	-.24333	.17619	.216	-.6745	.1878
			T2	-.03000	.17619	.870	-.4611	.4011
		RL	T2	.19000*	.06360	.024	.0344	.3456
			T3	.18000*	.06360	.030	.0244	.3356
		T2	T1	-.19000*	.06360	.024	-.3456	-.0344
			T3	-.01000	.06360	.880	-.1656	.1456
		T3	T1	-.18000*	.06360	.030	-.3356	-.0244
			T2	.01000	.06360	.880	-.1456	.1656
		RL+G	T2	.09667	.14244	.523	-.2519	.4452
			T3	.06000	.14244	.688	-.2885	.4085
		T2	T1	-.09667	.14244	.523	-.4452	.2519
			T3	-.03667	.14244	.805	-.3852	.3119
		T3	T1	-.06000	.14244	.688	-.4085	.2885
			T2	.03667	.14244	.805	-.3119	.3852

##### 5. Descriptive Statistics

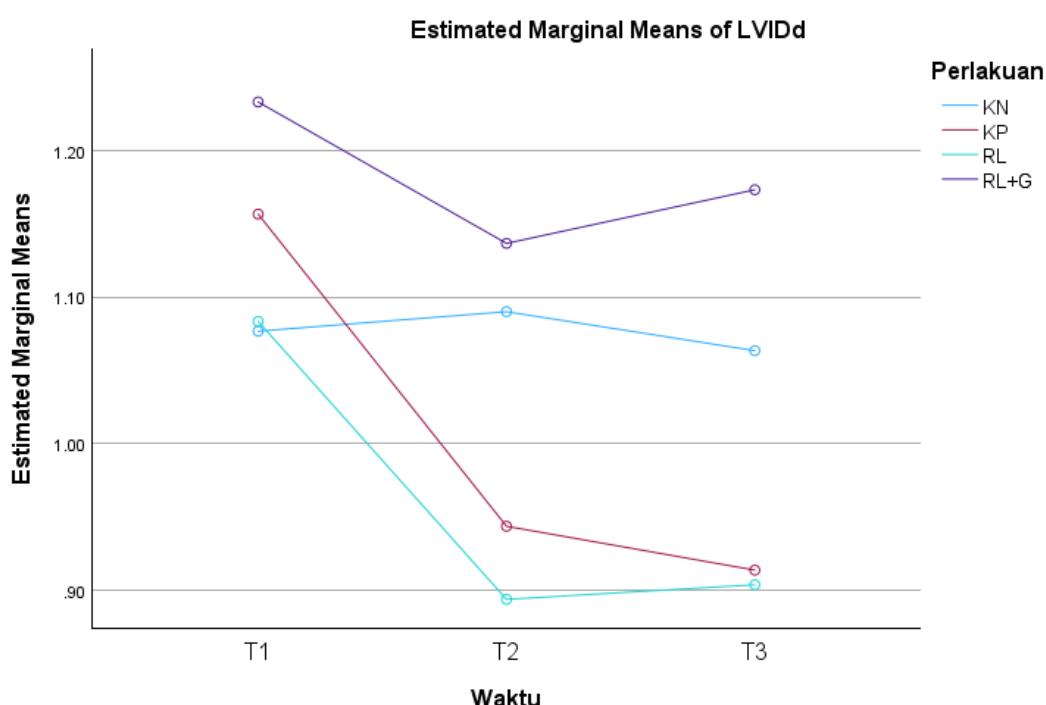
Perlakuan	Waktu	Mean	Std. Deviation	N
KN	T1	1.0767	.07095	3
	T2	1.0900	.13892	3
	T3	1.0633	.11590	3
	Total	1.0767	.09785	9
KP	T1	1.1567	.18930	3
	T2	.9433	.20526	3
	T3	.9133	.24846	3
	Total	1.0044	.21938	9
RL	T1	1.0833	.10970	3
	T2	.8933	.07506	3
	T3	.9033	.02309	3
	Total	.9600	.11456	9
RL+G	T1	1.2333	.15044	3
	T2	1.1367	.19604	3
	T3	1.1733	.17388	3
	Total	1.1811	.15688	9
Total	T1	1.1375	.13471	12
	T2	1.0158	.17375	12
	T3	1.0133	.18153	12
	Total	1.0556	.17030	36



Perlakuan	Waktu			Mean
	T1	T2	T3	
KN	1.08 ± 0.07	1.09 ± 0.14	1.06 ± 0.12	1.08
KP	1.16 ± 0.19	0.94 ± 0.21	0.91 ± 0.25	1.00

RL	$1.08 \pm 0.11$	$0.89 \pm 0.08$	$0.90 \pm 0.02$	0.96
RL+G	$1.23 \pm 0.15$	$1.14 \pm 0.20$	$1.17 \pm 0.17$	1.18
Mean	1.14	1.02	1.01	
Waktu				

- Huruf a dan b digunakan untuk menggambarkan ada atau tidaknya perbedaan yang nyata antar kelompok pada masing-masing indicator berdasarkan variasi perlakuan, waktu, dan interaksi perlakuan waktu.
- Kode huruf yang sama menandakan bahwa nilainya tidak berbeda nyata. Sebaliknya, kode huruf yang berbeda menandakan bahwa nilainya mengalami perbedaan yang nyata.



## LVIDs (cm)

### 1. Normalitas

	Kolmogorov-Smirnov <sup>a</sup>			Shapiro-Wilk		
	Statistic	df	Sig.	Statistic	df	Sig.
Standardized Residual for LVIDs	.116	36	.200*	.966	36	.327

0.327 >  $\alpha$  (0.05) sehingga data LVIDs berdistribusi normal

### 2. Homogenitas

LVIDs		Levene Statistic	df1	df2	Sig.
Based on Mean		2.035	11	24	.071
Based on Median		.357	11	24	.961
Based on Median and with adjusted df		.357	11	12.369	.951
Based on trimmed mean		1.817	11	24	.107

0.071 >  $\alpha$  (0.05) sehingga data LVIDs homogen

### 3. Anova Two Way

Source	Type III Sum of Squares				
		df	Mean Square	F	Sig.
Corrected Model	.227 <sup>a</sup>	11	.021	.745	.687
Intercept	19.463	1	19.463	702.487	<.001
Perlakuan	.100	3	.033	1.205	.329
Waktu	.087	2	.043	1.568	.229
Perlakuan * Waktu	.040	6	.007	.242	.958
Error	.665	24	.028		
Total	20.355	36			
Corrected Total	.892	35			

- Diperoleh nilai  $0.329 > \alpha$  (0.05) maka  $H_0$  diterima, sehingga variasi perlakuan tidak memberikan pengaruh terhadap nilai LVIDs (cm)
- Diperoleh nilai  $0.229 > \alpha$  (0.05) maka  $H_0$  diterima, sehingga variasi waktu tidak memberikan pengaruh terhadap nilai LVIDs (cm)
- Diperoleh nilai  $0.958 > \alpha$  (0.05) maka  $H_0$  diterima, sehingga interaksi variasi perlakuan dan waktu tidak memberikan pengaruh terhadap nilai LVIDs (cm)

### 4. Uji Lanjutan

#### DUNCAN

Perlakuan	N	Subset for alpha = 0.05	
		1	
RL	9	.6478	
KP	9	.7489	
	9	.7556	
	9	.7889	
		.111	



**a) KN**

Subset for alpha = 0.05			
	WKT	N	1
Duncan <sup>a</sup>	T3	3	.7867
	T1	3	.7900
	T2	3	.7900
	Sig.		.974

**b) KP**

Subset for alpha = 0.05			
	WKT	N	1
Duncan <sup>a</sup>	T3	3	.6767
	T2	3	.7233
	T1	3	.8467
	Sig.		.390

**c) RL**

Subset for alpha = 0.05				
	WKT	N	1	2
Duncan <sup>a</sup>	T3	3	.5633	
	T2	3	.6133	.6133
	T1	3		.7667
	Sig.		.478	.060

**d) RL+G**

Subset for alpha = 0.05			
	WKT	N	1
Duncan <sup>a</sup>	T2	3	.7267
	T3	3	.7300
	T1	3	.8100
	Sig.		.652

- Perbedaan letak nilai subset menunjukkan tingkat perbedaan antarvariasi
- Nilai yang terletak pada kolom subset yang sama menunjukkan tidak adanya perbedaan yang signifikan antara variasi

**LSD**

Dependent Variable	95% Confidence Interval							Upper Bound	
	Mean		Difference (I-J)	Std. Error	Sig.	Lower Bound			
	(I) WKT	(J) WKT							
KN	LSD	T1	.00000	.09456	1.000	-.2314	.2314		
		T2	.00333	.09456	.973	-.2280	.2347		
		T3	.00000	.09456	1.000	-.2314	.2314		
		T1	.00333	.09456	.973	-.2280	.2347		
		T3	-.00333	.09456	.973	-.2347	.2280		
		T2	-.00333	.09456	.973	-.2347	.2280		



KP	LSD	T1	T2	.12333	.17758	.513	-.3112	.5578
			T3	.17000	.17758	.375	-.2645	.6045
		T2	T1	-.12333	.17758	.513	-.5578	.3112
			T3	.04667	.17758	.801	-.3878	.4812
		T3	T1	-.17000	.17758	.375	-.6045	.2645
			T2	-.04667	.17758	.801	-.4812	.3878
		RL	T1	.15333	.06616	.060	-.0086	.3152
			T3	.20333*	.06616	.022	.0414	.3652
		T2	T1	-.15333	.06616	.060	-.3152	.0086
			T3	.05000	.06616	.478	-.1119	.2119
		T3	T1	-.20333*	.06616	.022	-.3652	-.0414
			T2	-.05000	.06616	.478	-.2119	.1119
RL+G	LSD	T1	T2	.08333	.17038	.642	-.3336	.5002
			T3	.08000	.17038	.655	-.3369	.4969
		T2	T1	-.08333	.17038	.642	-.5002	.3336
			T3	-.00333	.17038	.985	-.4202	.4136
		T3	T1	-.08000	.17038	.655	-.4969	.3369
			T2	.00333	.17038	.985	-.4136	.4202

##### 5. Descriptive Statistics

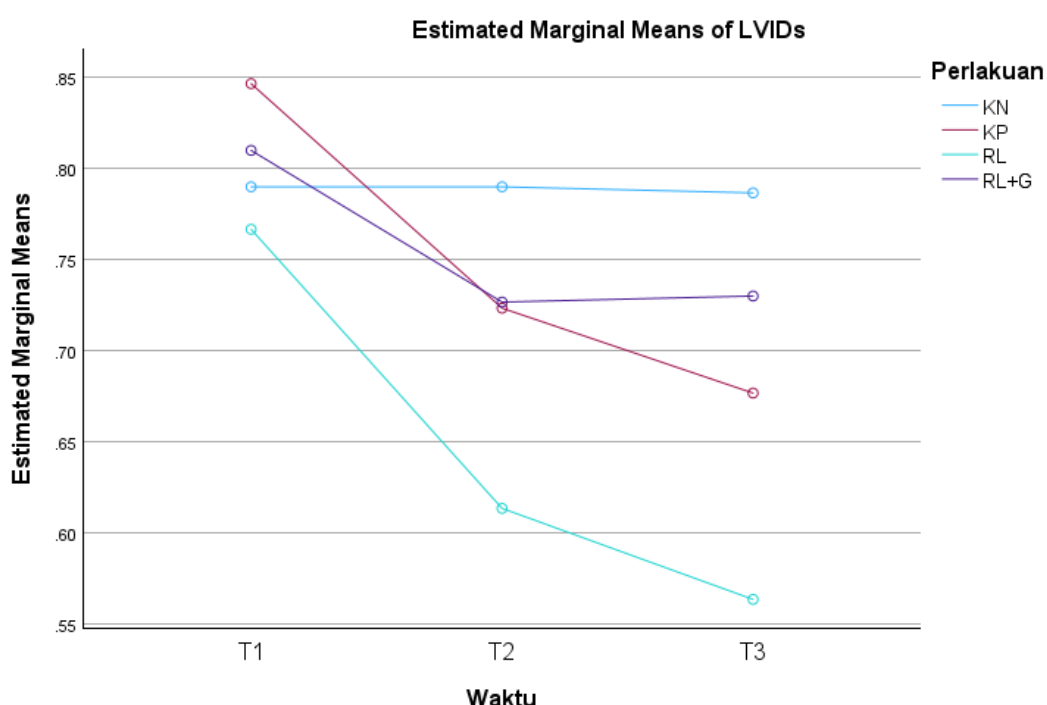
Perlakuan	Waktu	Mean	Std. Deviation	N
KN	T1	.7900	.09539	3
	T2	.7900	.13000	3
	T3	.7867	.11930	3
	Total	.7889	.10031	9
KP	T1	.8467	.19088	3
	T2	.7233	.10116	3
	T3	.6767	.30860	3
	Total	.7489	.20313	9
RL	T1	.7667	.08505	3
	T2	.6133	.08505	3
	T3	.5633	.07234	3
	Total	.6478	.11552	9
RL+G	T1	.8100	.23516	3
	T2	.7267	.17673	3
	T3	.7300	.21000	3
	Total	.7556	.18528	9
Total	T1	.8033	.14348	12
	T2	.7133	.12780	12
	T3	.6892	.19048	12
	Total	.7353	.15965	36



Perlakuan	Waktu			Mean
	T1	T2	T3	
KN	0.79 ± 0.10	0.79 ± 0.13	0.79 ± 0.12	0.79
KP	0.85 ± 0.19	0.72 ± 0.10	0.68 ± 0.31	0.75

RL	$0.77 \pm 0.09$	$0.61 \pm 0.09$	$0.56 \pm 0.07$	0.65
RL+G	$0.81 \pm 0.24$	$0.73 \pm 0.18$	$0.73 \pm 0.21$	0.76
Mean	0.80	0.71	0.69	
Waktu				

- Huruf a dan b digunakan untuk menggambarkan ada atau tidaknya perbedaan yang nyata antar kelompok pada masing-masing indicator berdasarkan variasi perlakuan, waktu, dan interaksi perlakuan waktu.
- Kode huruf yang sama menandakan bahwa nilainya tidak berbeda nyata. Sebaliknya, kode huruf yang berbeda menandakan bahwa nilainya mengalami perbedaan yang nyata.



## LVPWd (cm)

### 1. Normalitas

	Kolmogorov-Smirnov <sup>a</sup>			Shapiro-Wilk		
	Statistic	df	Sig.	Statistic	df	Sig.
Standardized Residual for LVPWd	.110	36	.200*	.958	36	.190

0.190 >  $\alpha$  (0.05) sehingga data LVPWd berdistribusi normal

### 2. Homogenitas

LVPWd		Levene Statistic	df1		df2	Sig.
			11	24		
Based on Mean	Based on Mean	1.159	11	24	.364	
	Based on Median	.201	11	24	.996	
	Based on Median and with adjusted df	.201	11	8.678	.992	
	Based on trimmed mean	1.048	11	24	.439	

0.364 >  $\alpha$  (0.05) sehingga data LVPWd homogen

### 3. Anova Two Way

Source	Type III Sum of Squares					Sig.
		df	Mean Square	F		
Corrected Model	.055 <sup>a</sup>	11	.005	2.112	.061	
Intercept	3.228	1	3.228	1373.622	<.001	
Perlakuan	.035	3	.012	4.944	.008	
Waktu	.013	2	.006	2.696	.088	
Perlakuan * Waktu	.007	6	.001	.501	.801	
Error	.056	24	.002			
Total	3.339	36				
Corrected Total	.111	35				

- Diperoleh nilai  $0.008 < \alpha$  (0.05) maka  $H_0$  ditolak, sehingga variasi perlakuan memberikan pengaruh terhadap nilai LVPWd (cm)
- Diperoleh nilai  $0.088 > \alpha$  (0.05) maka  $H_0$  diterima, sehingga variasi waktu tidak memberikan pengaruh terhadap nilai LVPWd (cm)
- Diperoleh nilai  $0.801 > \alpha$  (0.05) maka  $H_0$  diterima, sehingga interaksi variasi perlakuan dan waktu tidak memberikan pengaruh terhadap nilai LVPWd (cm)

### 4. Uji Lanjutan

#### DUNCAN

Perlakuan	N	Subset	
		1	2
KN	9	.2689	
RL	9	.2700	
PL+C	9	.3178	.3178
	9		.3411
		.053	.317



**a) KN**

Subset for alpha = 0.05					
	WKT	N	1		
Duncan <sup>a</sup>	T1	3	.2600		
	T3	3	.2667		
	T2	3	.2800		
	Sig.		.624		

**b) KP**

Subset for alpha = 0.05					
	WKT	N	1	2	
Duncan <sup>a</sup>	T1	3	.3033		
	T2	3	.3367	.3367	
	T3	3		.3833	
	Sig.		.306	.169	

**c) RL**

Subset for alpha = 0.05					
	WKT	N	1		
Duncan <sup>a</sup>	T1	3	.2467		
	T2	3	.2767		
	T3	3	.2867		
	Sig.		.412		

**d) RL+G**

Subset for alpha = 0.05					
	WKT	N	1		
Duncan <sup>a</sup>	T2	3	.2967		
	T1	3	.3000		
	T3	3	.3567		
	Sig.		.246		

- Perbedaan letak nilai subset menunjukkan tingkat perbedaan antarvariasi
- Nilai yang terletak pada kolom subset yang sama menunjukkan tidak adanya perbedaan yang signifikan antara variasi

**LSD**

Dependent Variable	95% Confidence Interval							Upper Bound	
			Mean		Std. Error	Sig.	Lower Bound		
	(I)	WKT	(J)	WKT					
KN	LSD	T1	T2		.03752	.613	-.1118	.0718	
			T3		.03752	.865	-.0985	.0851	
		T2	T1		.03752	.613	-.0718	.1118	
			T3		.03752	.734	-.0785	.1051	
		T3	T1		.03752	.865	-.0851	.0985	
			T2		.03752	.734	-.1051	.0785	



KP	LSD	T1	T2	-.03333	.02981	.306	-.1063	.0396
			T3	-.08000*	.02981	.036	-.1530	-.0070
		T2	T1	.03333	.02981	.306	-.0396	.1063
			T3	-.04667	.02981	.169	-.1196	.0263
		T3	T1	.08000*	.02981	.036	.0070	.1530
			T2	.04667	.02981	.169	-.0263	.1196
RL	LSD	T1	T2	-.03000	.04397	.521	-.1376	.0776
			T3	-.04000	.04397	.398	-.1476	.0676
		T2	T1	.03000	.04397	.521	-.0776	.1376
			T3	-.01000	.04397	.828	-.1176	.0976
		T3	T1	.04000	.04397	.398	-.0676	.1476
			T2	.01000	.04397	.828	-.0976	.1176
RL+G	LSD	T1	T2	.00333	.04513	.944	-.1071	.1138
			T3	-.05667	.04513	.256	-.1671	.0538
		T2	T1	-.00333	.04513	.944	-.1138	.1071
			T3	-.06000	.04513	.232	-.1704	.0504
		T3	T1	.05667	.04513	.256	-.0538	.1671
			T2	.06000	.04513	.232	-.0504	.1704

---

## 5. Descriptive Statistics

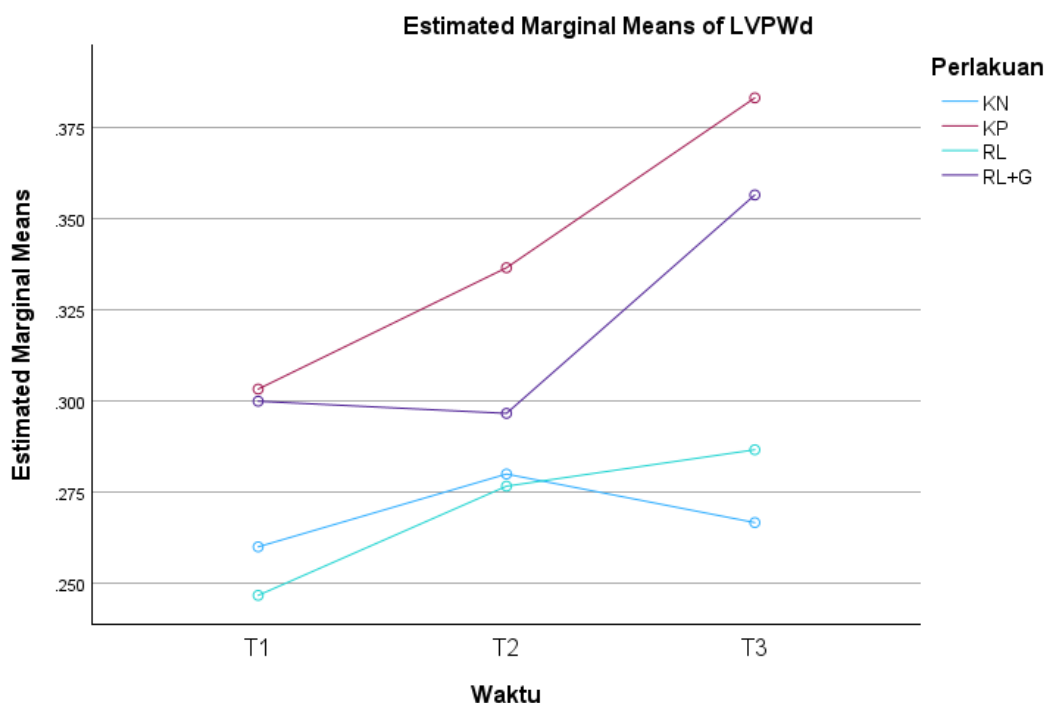
Perlakuan	Waktu	Mean	Std. Deviation	N
KN	T1	.2600	.03606	3
	T2	.2800	.05000	3
	T3	.2667	.05033	3
	Total	.2689	.04076	9
KP	T1	.3033	.02517	3
	T2	.3367	.04163	3
	T3	.3833	.04041	3
	Total	.3411	.04702	9
RL	T1	.2467	.06110	3
	T2	.2767	.05033	3
	T3	.2867	.04933	3
	Total	.2700	.05000	9
RL+G	T1	.3000	.08660	3
	T2	.2967	.02517	3
	T3	.3567	.03215	3
	Total	.3178	.05608	9
Total	T1	.2775	.05529	12
	T2	.2975	.04434	12
	T3	.3233	.06257	12
	Total	.2994	.05631	36



Perlakuan	Waktu			Mean Perlakuan
	T1	T2	T3	
KN	0.26 ± 0.04	0.28 ± 0.05	0.27 ± 0.05	0.27
KP	0.30 ± 0.03	0.34 ± 0.04	0.38 ± 0.04	0.34

RL	$0.25 \pm 0.06$	$0.28 \pm 0.05$	$0.29 \pm 0.05$	0.27
RL+G	$0.30 \pm 0.09$	$0.30 \pm 0.03$	$0.36 \pm 0.03$	0.32
Mean	0.28	0.30	0.32	
Waktu				

- Huruf a dan b digunakan untuk menggambarkan ada atau tidaknya perbedaan yang nyata antar kelompok pada masing-masing indicator berdasarkan variasi perlakuan, waktu, dan interaksi perlakuan waktu.
- Kode huruf yang sama menandakan bahwa nilainya tidak berbeda nyata. Sebaliknya, kode huruf yang berbeda menandakan bahwa nilainya mengalami perbedaan yang nyata.



## LVPWs (cm)

### 1. Normalitas

	Kolmogorov-Smirnov <sup>a</sup>			Shapiro-Wilk		
	Statistic	df	Sig.	Statistic	df	Sig.
Standardized Residual for LVPWs	.095	36	.200*	.976	36	.623

0.623 >  $\alpha$  (0.05) sehingga data LVPWs berdistribusi normal

### 2. Homogenitas

LVPWs		Levene Statistic	df1		df2	Sig.
			11	24		
Based on Mean	Based on Mean	1.343	11	24	.262	
	Based on Median	.504	11	24	.882	
	Based on Median and with adjusted df	.504	11	17.206	.875	
	Based on trimmed mean	1.270	11	24	.299	

0.262 >  $\alpha$  (0.05) sehingga data LVPWs homogen

### 3. Anova Two Way

Source	Type III Sum of Squares					Sig.
		df	Mean Square	F		
Corrected Model	.089 <sup>a</sup>	11	.008	2.211	.051	
Intercept	5.298	1	5.298	1442.633	<.001	
Perlakuan	.065	3	.022	5.911	.004	
Waktu	.013	2	.007	1.825	.183	
Perlakuan * Waktu	.011	6	.002	.489	.810	
Error	.088	24	.004			
Total	5.475	36				
Corrected Total	.177	35				

- Diperoleh nilai  $0.004 < \alpha$  (0.05) maka  $H_0$  ditolak, sehingga variasi perlakuan memberikan pengaruh terhadap nilai LVPWs (cm)
- Diperoleh nilai  $0.183 > \alpha$  (0.05) maka  $H_0$  diterima, sehingga variasi waktu tidak memberikan pengaruh terhadap nilai LVPWs (cm)
- Diperoleh nilai  $0.810 > \alpha$  (0.05) maka  $H_0$  diterima, sehingga interaksi variasi perlakuan dan waktu tidak memberikan pengaruh terhadap nilai LVPWs (cm)

### 4. Uji Lanjutan

#### DUNCAN

Perlakuan	N	Subset		
		1	2	3
KN	9	.3256		
RL	9	.3633	.3633	
KP	9		.4089	.4089
	9			.4367
		.198	.124	.341



**a) KN**

Subset for alpha = 0.05					
	WKT	N	1		
Duncan <sup>a</sup>	T2	3	.3233		
	T3	3	.3233		
	T1	3	.3300		
	Sig.		.913		

**b) KP**

Subset for alpha = 0.05					
	WKT	N	1	2	
Duncan <sup>a</sup>	T1	3	.3733		
	T2	3	.3833		
	T3	3		.4700	
	Sig.		.745	1.000	

**c) RL**

Subset for alpha = 0.05					
	WKT	N	1		
Duncan <sup>a</sup>	T1	3	.3367		
	T2	3	.3633		
	T3	3	.3900		
	Sig.		.464		

**d) RL+G**

Subset for alpha = 0.05					
	WKT	N	1		
Duncan <sup>a</sup>	T2	3	.4167		
	T1	3	.4333		
	T3	3	.4600		
	Sig.		.293		

- Perbedaan letak nilai subset menunjukkan tingkat perbedaan antarvariasi
- Nilai yang terletak pada kolom subset yang sama menunjukkan tidak adanya perbedaan yang signifikan antara variasi

**LSD**

Dependent Variable	95% Confidence Interval								
			Mean						
	(I)	WKT	(J)	WKT	Difference (I-J)	Std. Error	Sig.	Lower Bound	Upper Bound
KN	LSD	T1	T2		.00667	.05689	.911	-.1326	.1459
			T3		.00667	.05689	.911	-.1326	.1459
		T2	T1		-.00667	.05689	.911	-.1459	.1326
			T3		.00000	.05689	1.000	-.1392	.1392
		T3	T1		-.00667	.05689	.911	-.1459	.1326
			T2		.00000	.05689	1.000	-.1392	.1392



KP	LSD	T1	T2	-.01000	.02931	.745	-.0817	.0617
			T3	-.09667*	.02931	.016	-.1684	-.0249
		T2	T1	.01000	.02931	.745	-.0617	.0817
			T3	-.08667*	.02931	.025	-.1584	-.0149
		T3	T1	.09667*	.02931	.016	.0249	.1684
			T2	.08667*	.02931	.025	.0149	.1584
		RL	T1	-.02667	.06611	.701	-.1884	.1351
			T3	-.05333	.06611	.451	-.2151	.1084
		T2	T1	.02667	.06611	.701	-.1351	.1884
			T3	-.02667	.06611	.701	-.1884	.1351
		T3	T1	.05333	.06611	.451	-.1084	.2151
			T2	.02667	.06611	.701	-.1351	.1884
		RL+G	T1	.01667	.03641	.663	-.0724	.1058
			T3	-.02667	.03641	.492	-.1158	.0624
		T2	T1	-.01667	.03641	.663	-.1058	.0724
			T3	-.04333	.03641	.279	-.1324	.0458
		T3	T1	.02667	.03641	.492	-.0624	.1158
			T2	.04333	.03641	.279	-.0458	.1324

##### 5. Descriptive Statistics

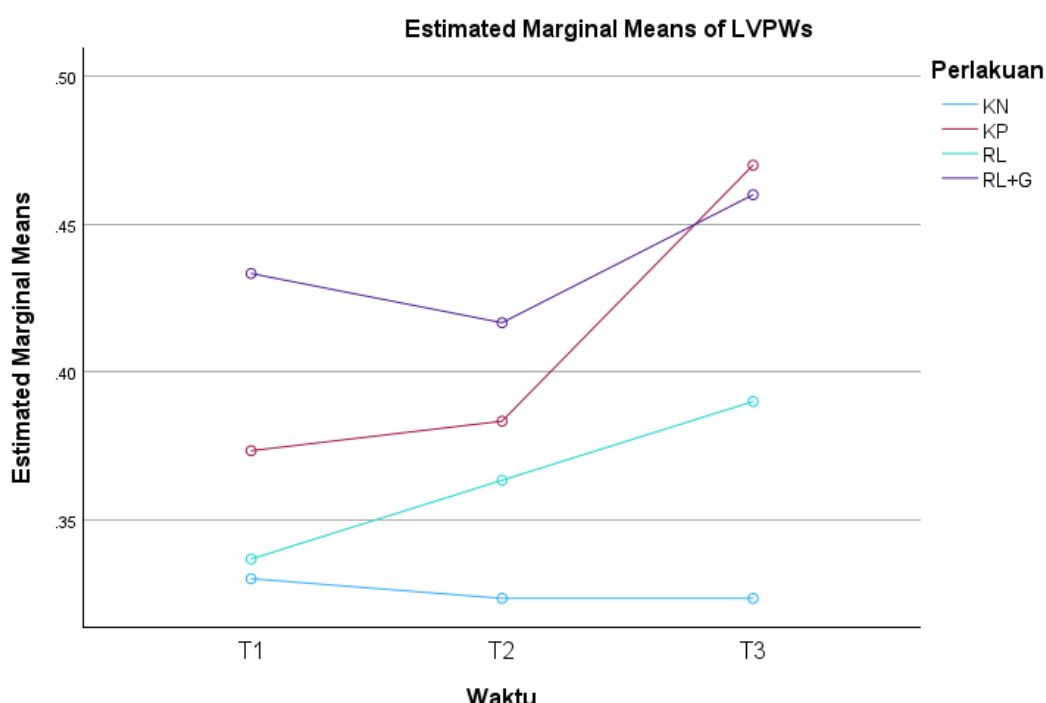
Perlakuan	Waktu	Mean	Std. Deviation	N
KN	T1	.3300	.07550	3
	T2	.3233	.06658	3
	T3	.3233	.06658	3
	Total	.3256	.06044	9
KP	T1	.3733	.03512	3
	T2	.3833	.03786	3
	T3	.4700	.03464	3
	Total	.4089	.05555	9
RL	T1	.3367	.06658	3
	T2	.3633	.06429	3
	T3	.3900	.10536	3
	Total	.3633	.07382	9
RL+G	T1	.4333	.07095	3
	T2	.4167	.02887	3
	T3	.4600	.01000	3
	Total	.4367	.04301	9
Total	T1	.3683	.06939	12
	T2	.3717	.05670	12
	T3	.4108	.08295	12
	Total	.3836	.07120	36



Perlakuan	Waktu			Mean
	T1	T2	T3	
KN	0.33 ± 0.08	0.32 ± 0.07	0.32 ± 0.07	0.33
KP	0.37 ± 0.04	0.38 ± 0.04	0.47 ± 0.03	0.41

RL	$0.34 \pm 0.07$	$0.36 \pm 0.06$	$0.39 \pm 0.1$	0.36
RL+G	$0.43 \pm 0.07$	$0.42 \pm 0.03$	$0.46 \pm 0.01$	0.44
Mean	0.37	0.37	0.41 <sup>b</sup>	
Waktu				

- Huruf a dan b digunakan untuk menggambarkan ada atau tidaknya perbedaan yang nyata antar kelompok pada masing-masing indicator berdasarkan variasi perlakuan, waktu, dan interaksi perlakuan waktu.
- Kode huruf yang sama menandakan bahwa nilainya tidak berbeda nyata. Sebaliknya, kode huruf yang berbeda menandakan bahwa nilainya mengalami perbedaan yang nyata.



## EDV (ml)

### 1. Normalitas

	Kolmogorov-Smirnov <sup>a</sup>			Shapiro-Wilk		
	Statistic	df	Sig.	Statistic	df	Sig.
Standardized Residual for EDV	.076	36	.200*	.972	36	.473

0.473 >  $\alpha$  (0.05) sehingga data EDV berdistribusi normal

### 2. Homogenitas

EDV		Levene Statistic	df1	df2	Sig.
EDV	Based on Mean	1.776	11	24	.116
	Based on Median	.371	11	24	.955
	Based on Median and with adjusted df	.371	11	14.718	.948
	Based on trimmed mean	1.609	11	24	.159

0.116 >  $\alpha$  (0.05) sehingga data EDV homogen

### 3. Anova Two Way

Source	Type III Sum of Squares					Sig.
		df	Mean Square	F		
Corrected Model	16.425 <sup>a</sup>	11	1.493	1.543	.181	
Intercept	227.205	1	227.205	234.774	<.001	
Perlakuan	9.873	3	3.291	3.401	.034	
Waktu	4.254	2	2.127	2.198	.133	
Perlakuan * Waktu	2.298	6	.383	.396	.874	
Error	23.226	24	.968			
Total	266.856	36				
Corrected Total	39.651	35				

- Diperoleh nilai  $0.034 < \alpha$  (0.05) maka  $H_0$  ditolak, sehingga variasi perlakuan memberikan pengaruh terhadap nilai EDV (ml)
- Diperoleh nilai  $0.133 > \alpha$  (0.05) maka  $H_0$  diterima, sehingga variasi waktu tidak memberikan pengaruh terhadap nilai EDV (ml)
- Diperoleh nilai  $0.874 > \alpha$  (0.05) maka  $H_0$  diterima, sehingga interaksi variasi perlakuan dan waktu tidak memberikan pengaruh terhadap nilai EDV (ml)

### 4. Uji Lanjutan

#### DUNCAN

Perlakuan	N	Subset	
		1	2
RL	9	1.8978	
KP	9	2.2778	
KN	9	2.5467	2.5467
	9		3.3267
		.198	.106



**a) KN**

Subset for alpha = 0.05			
	WKT	N	1
Duncan <sup>a</sup>	T3	3	2.4533
	T1	3	2.5300
	T2	3	2.6567
	Sig.		.735

**b) KP**

Subset for alpha = 0.05			
	WKT	N	1
Duncan <sup>a</sup>	T3	3	1.7933
	T2	3	1.8700
	T1	3	3.1700
	Sig.		.241

**c) RL**

Subset for alpha = 0.05				
	WKT	N	1	2
Duncan <sup>a</sup>	T2	3	1.5267	
	T3	3	1.5767	
	T1	3		2.5900
	Sig.		.900	1.000

**d) RL+G**

Subset for alpha = 0.05			
	WKT	N	1
Duncan <sup>a</sup>	T2	3	3.0100
	T3	3	3.2667
	T1	3	3.7033
	Sig.		.541

- Perbedaan letak nilai subset menunjukkan tingkat perbedaan antarvariasi
- Nilai yang terletak pada kolom subset yang sama menunjukkan tidak adanya perbedaan yang signifikan antara variasi

**LSD**

Dependent Variable	(I) WKT	95% Confidence Interval					Upper Bound	
		Mean			Std. Error	Sig.		
		(J) WKT	Difference (I-J)					
KN	LSD	T1	T2	-.12667	.55549	.827	-1.4859	1.2326
			T3	.07667	.55549	.895	-1.2826	1.4359
		T2	T1	.12667	.55549	.827	-1.2326	1.4859
			T3	.20333	.55549	.727	-1.1559	1.5626
		T3	T1	-.07667	.55549	.895	-1.4359	1.2826
			T2	-.20333	.55549	.727	-1.5626	1.1559



			T1	T2	1.30000	1.02470	.252	-1.2073	3.8073
				T3	1.37667	1.02470	.228	-1.1307	3.8840
			T2	T1	-1.30000	1.02470	.252	-3.8073	1.2073
				T3	.07667	1.02470	.943	-2.4307	2.5840
			T3	T1	-1.37667	1.02470	.228	-3.8840	1.1307
				T2	-.07667	1.02470	.943	-2.5840	2.4307
RL	LSD	T1	T2		1.06333*	.38081	.031	.1315	1.9951
				T3	1.01333*	.38081	.037	.0815	1.9451
		T2	T1		-1.06333*	.38081	.031	-1.9951	-.1315
				T3	-.05000	.38081	.900	-.9818	.8818
		T3	T1		-1.01333*	.38081	.037	-1.9451	-.0815
				T2	.05000	.38081	.900	-.8818	.9818
RL+G	LSD	T1	T2		.69333	1.03784	.529	-1.8462	3.2328
				T3	.43667	1.03784	.689	-2.1028	2.9762
		T2	T1		-.69333	1.03784	.529	-3.2328	1.8462
				T3	-.25667	1.03784	.813	-2.7962	2.2828
		T3	T1		-.43667	1.03784	.689	-2.9762	2.1028
				T2	.25667	1.03784	.813	-2.2828	2.7962

##### 5. Descriptive Statistics

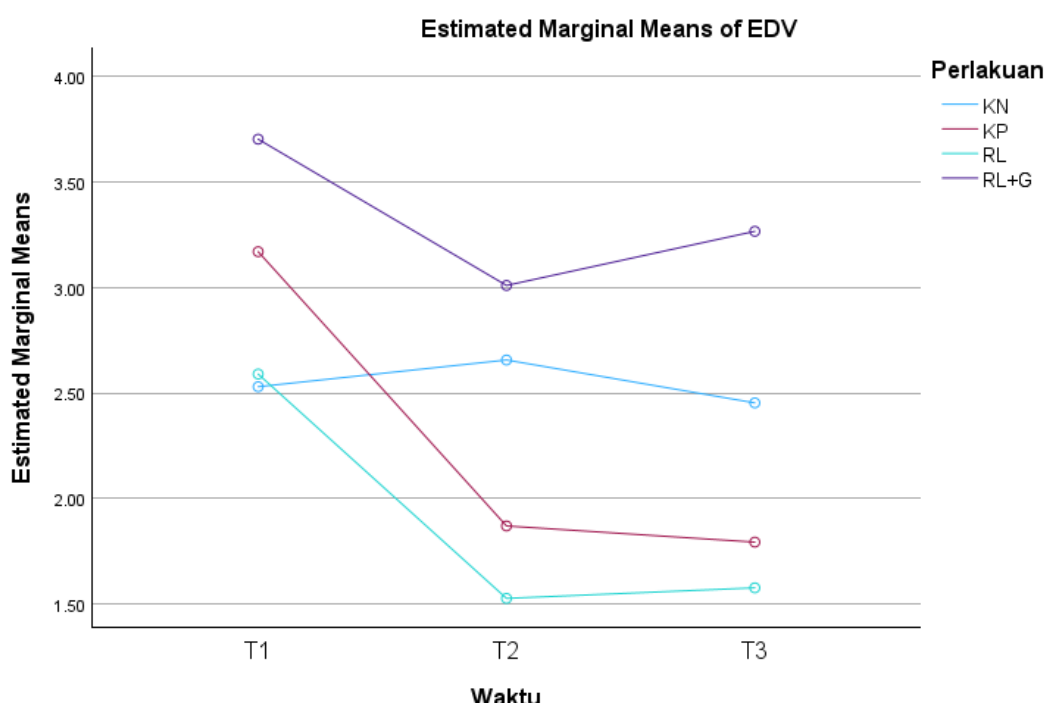
Perlakuan	Waktu	Mean	Std. Deviation	N
KN	T1	2.5300	.45902	3
	T2	2.6567	.85114	3
	T3	2.4533	.67337	3
	Total	2.5467	.59586	9
KP	T1	3.1700	1.25694	3
	T2	1.8700	1.10991	3
	T3	1.7933	1.38320	3
	Total	2.2778	1.27677	9
RL	T1	2.5900	.71896	3
	T2	1.5267	.34962	3
	T3	1.5767	.11590	3
	Total	1.8978	.65814	9
RL+G	T1	3.7033	1.19341	3
	T2	3.0100	1.31046	3
	T3	3.2667	1.30592	3
	Total	3.3267	1.14188	9
Total	T1	2.9983	.96301	12
	T2	2.2658	1.03662	12
	T3	2.2725	1.10271	12
	Total	2.5122	1.06437	36



Perlakuan	Waktu			Mean
	T1	T2	T3	
KN	2.53 ± 0.46	2.66 ± 0.85	2.45 ± 0.67	2.55
KP	3.17 ± 1.26	1.87 ± 1.11	1.79 ± 1.38	2.28

RL	$2.59 \pm 0.72$	$1.53 \pm 0.35$	$1.58 \pm 0.12$	1.90
RL+G	$3.70 \pm 1.19$	$3.01 \pm 1.31$	$3.27 \pm 1.31$	3.33
Mean	3.00	2.27	2.27	
Waktu				

- Huruf a dan b digunakan untuk menggambarkan ada atau tidaknya perbedaan yang nyata antar kelompok pada masing-masing indicator berdasarkan variasi perlakuan, waktu, dan interaksi perlakuan waktu.
- Kode huruf yang sama menandakan bahwa nilainya tidak berbeda nyata. Sebaliknya, kode huruf yang berbeda menandakan bahwa nilainya mengalami perbedaan yang nyata.



## ESV (ml)

### 1. Normalitas

	Kolmogorov-Smirnov <sup>a</sup>			Shapiro-Wilk		
	Statistic	df	Sig.	Statistic	df	Sig.
Standardized Residual for ESV	.108	36	.200*	.965	36	.307

0.307 >  $\alpha$  (0.05) sehingga data ESV berdistribusi normal

### 2. Homogenitas

ESV		Levene Statistic		df1	df2	Sig.
		Based on Mean	Based on Median			
ESV	Based on Mean	2.981	.411	11	24	.122
	Based on Median	.411	.411	11	24	.937
	Based on Median and with adjusted df	.411	.411	11	10.998	.922
	Based on trimmed mean	2.597	2.597	11	24	.025

0.122 >  $\alpha$  (0.05) sehingga data ESV homogen

### 3. Anova Two Way

Source	Type III Sum of Squares		df	Mean Square	F	Sig.
Corrected Model	2.557 <sup>a</sup>		11	.232	.609	.803
Intercept	34.948		1	34.948	91.560	<.001
Perlakuan	1.242		3	.414	1.084	.375
Waktu	.923		2	.461	1.208	.316
Perlakuan * Waktu	.393		6	.065	.172	.982
Error	9.161		24	.382		
Total	46.665		36			
Corrected Total	11.718		35			

- Diperoleh nilai  $0.375 > \alpha$  (0.05) maka  $H_0$  diterima, sehingga variasi perlakuan tidak memberikan pengaruh terhadap nilai ESV (ml)
- Diperoleh nilai  $0.316 > \alpha$  (0.05) maka  $H_0$  diterima, sehingga variasi waktu tidak memberikan pengaruh terhadap nilai ESV (ml)
- Diperoleh nilai  $0.982 > \alpha$  (0.05) maka  $H_0$  diterima, sehingga interaksi variasi perlakuan dan waktu tidak memberikan pengaruh terhadap nilai ESV (ml)

### 4. Uji Lanjutan

#### DUNCAN

Perlakuan	N	Subset	
		1	
RL	9	.6644	
LP	9	1.0767	
XP	9	1.0867	
WP	9	1.1133	
		.171	



**a) KN**

Subset for alpha = 0.05			
	WKT	N	1
Duncan <sup>a</sup>	T1	3	1.1067
	T3	3	1.1100
	T2	3	1.1233
	Sig.		.963

**b) KP**

Subset for alpha = 0.05			
	WKT	N	1
Duncan <sup>a</sup>	T2	3	.8700
	T3	3	.9533
	T1	3	1.4067
	Sig.		.456

**c) RL**

Subset for alpha = 0.05			
	WKT	N	1 2
Duncan <sup>a</sup>	T3	3	.4333
	T2	3	.5467
	T1	3	1.0133
	Sig.		.564 1.000

**d) RL+G**

Subset for alpha = 0.05			
	WKT	N	1
Duncan <sup>a</sup>	T2	3	.9500
	T3	3	.9900
	T1	3	1.3200
	Sig.		.610

- Perbedaan letak nilai subset menunjukkan tingkat perbedaan antarvariasi
- Nilai yang terletak pada kolom subset yang sama menunjukkan tidak adanya perbedaan yang signifikan antara variasi

**LSD**

Dependent Variable	(I) WKT	(J) WKT	Mean				95% Confidence Interval		Upper Bound
			Difference (I-J)	Std. Error	Sig.	Lower Bound			
KN	LSD	T1	- .01667	.33322	.962	-.8320	.7987		
		T2	-.00333	.33322	.992	-.8187	.8120		
		T3	.01667	.33322	.962	-.7987	.8320		
	T2	T1	.01333	.33322	.969	-.8020	.8287		
		T3	.00333	.33322	.992	-.8120	.8187		
		T1	-.01333	.33322	.969	-.8287	.8020		
	T3	T2	.53667	.65316	.443	-1.0616	2.1349		
		T1							
		T2							



			T3	.45333	.65316	.514	-1.1449	2.0516
		T2	T1	-.53667	.65316	.443	-2.1349	1.0616
			T3	-.08333	.65316	.903	-1.6816	1.5149
		T3	T1	-.45333	.65316	.514	-2.0516	1.1449
			T2	.08333	.65316	.903	-1.5149	1.6816
RL	LSD	T1	T2	.46667*	.18559	.046	.0125	.9208
			T3	.58000*	.18559	.020	.1259	1.0341
		T2	T1	-.46667*	.18559	.046	-.9208	-.0125
			T3	.11333	.18559	.564	-.3408	.5675
		T3	T1	-.58000*	.18559	.020	-1.0341	-.1259
			T2	-.11333	.18559	.564	-.5675	.3408
RL+G	LSD	T1	T2	.37000	.66765	.599	-1.2637	2.0037
			T3	.33000	.66765	.639	-1.3037	1.9637
		T2	T1	-.37000	.66765	.599	-2.0037	1.2637
			T3	-.04000	.66765	.954	-1.6737	1.5937
		T3	T1	-.33000	.66765	.639	-1.9637	1.3037
			T2	.04000	.66765	.954	-1.5937	1.6737

##### 5. Descriptive Statistics

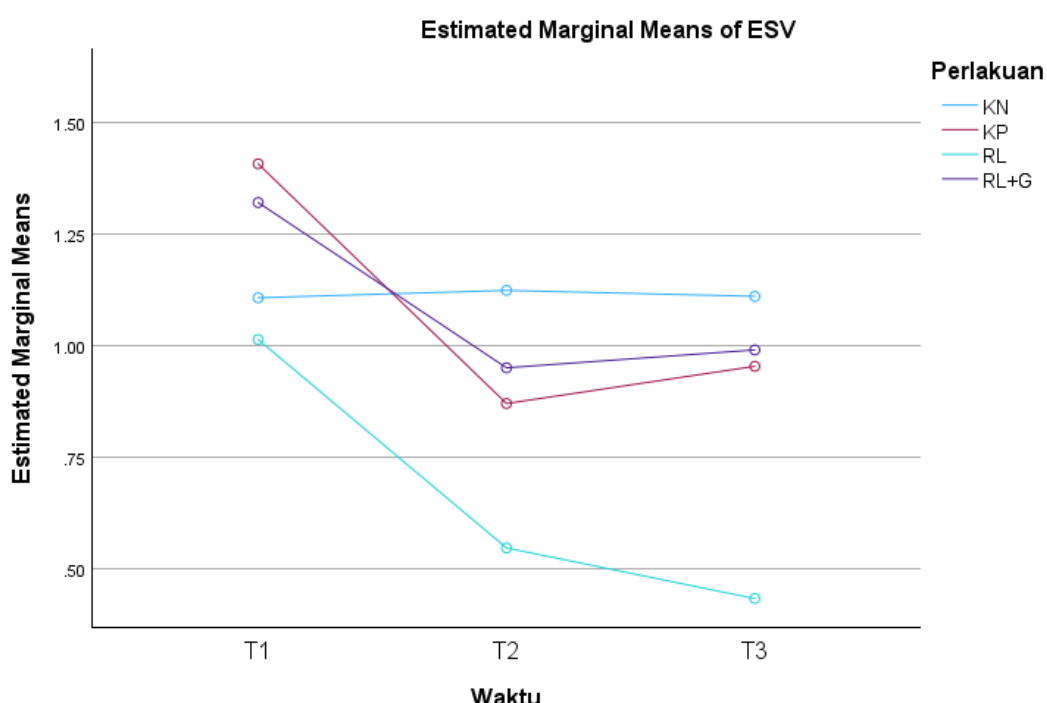
Perlakuan	Waktu	Mean	Std. Deviation	N
KN	T1	1.1067	.35233	3
	T2	1.1233	.45347	3
	T3	1.1100	.41219	3
	Total	1.1133	.35352	9
KP	T1	1.4067	.73105	3
	T2	.8700	.34655	3
	T3	.9533	1.12483	3
	Total	1.0767	.73655	9
RL	T1	1.0133	.30022	3
	T2	.5467	.21127	3
	T3	.4333	.14224	3
	Total	.6644	.33110	9
RL+G	T1	1.3200	.96566	3
	T2	.9500	.66836	3
	T3	.9900	.79164	3
	Total	1.0867	.72966	9
Total	T1	1.2117	.57704	12
	T2	.8725	.44307	12
	T3	.8717	.67237	12
	Total	.9853	.57861	36



Perlakuan	Waktu			Mean
	T1	T2	T3	
KN	1.11 ± 0.35 <sup>a</sup>	1.12 ± 0.45 <sup>a</sup>	1.11 ± 0.41 <sup>a</sup>	1.11 <sup>a</sup>
KP	1.41 ± 0.73 <sup>a</sup>	0.87 ± 0.35 <sup>a</sup>	0.95 ± 1.12 <sup>a</sup>	1.08 <sup>a</sup>

RL	$1.01 \pm 0.30^a$	$0.55 \pm 0.21^a$	$0.43 \pm 0.14^a$	0.66 <sup>a</sup>
RL+G	$1.32 \pm 0.97^a$	$0.95 \pm 0.67^a$	$0.99 \pm 0.79^a$	1.09 <sup>a</sup>
Mean	1.21 <sup>a</sup>	0.87 <sup>a</sup>	0.87 <sup>a</sup>	
Waktu				

- Huruf a dan b digunakan untuk menggambarkan ada atau tidaknya perbedaan yang nyata antar kelompok pada masing-masing indicator berdasarkan variasi perlakuan, waktu, dan interaksi perlakuan waktu.
- Kode huruf yang sama menandakan bahwa nilainya tidak berbeda nyata. Sebaliknya, kode huruf yang berbeda menandakan bahwa nilainya mengalami perbedaan yang nyata.



## SV (ml)

### 1. Normalitas

	Kolmogorov-Smirnov <sup>a</sup>			Shapiro-Wilk		
	Statistic	df	Sig.	Statistic	df	Sig.
Standardized Residual for SV	.063	36	.200*	.989	36	.976

0.976 >  $\alpha$  (0.05) sehingga data SV berdistribusi normal

### 2. Homogenitas

SV	Based on Mean	Levene Statistic		df1	df2	Sig.
		Statistic	df			
	Based on Median	.460	11	11	24	.910
	Based on Median and with adjusted df	.460	11		8.375	.886
	Based on trimmed mean	2.154	11		24	.056

0.377 >  $\alpha$  (0.05) sehingga data SV homogen

### 3. Anova Two Way

Source	Type III Sum of Squares				
		df	Mean Square	F	Sig.
Corrected Model	8.617 <sup>a</sup>	11	.783	3.542	.005
Intercept	83.967	1	83.967	379.682	<.001
Perlakuan	6.375	3	2.125	9.609	<.001
Waktu	1.212	2	.606	2.740	.085
Perlakuan * Waktu	1.030	6	.172	.776	.596
Error	5.308	24	.221		
Total	97.892	36			
Corrected Total	13.925	35			

- Diperoleh nilai  $<0.001 < \alpha$  (0.05) maka  $H_0$  ditolak, sehingga variasi perlakuan memberikan pengaruh terhadap nilai SV (ml)
- Diperoleh nilai  $0.085 > \alpha$  (0.05) maka  $H_0$  diterima, sehingga variasi waktu tidak memberikan pengaruh terhadap nilai SV (ml)
- Diperoleh nilai  $0.596 > \alpha$  (0.05) maka  $H_0$  diterima, sehingga interaksi variasi perlakuan dan waktu tidak memberikan pengaruh terhadap nilai SV (ml)

### 4. Uji Lanjutan

#### DUNCAN

Perlakuan	N	Subset	
		1	2
KP	9	1.2033	
PL	9	1.2333	
	9	1.4322	
	9		2.2400
		.340	1.000



**a) KN**

Subset for alpha = 0.05			
	WKT	N	1
Duncan <sup>a</sup>	T3	3	1.3433
	T1	3	1.4233
	T2	3	1.5300
	Sig.		.511

**b) KP**

Subset for alpha = 0.05			
	WKT	N	1
Duncan <sup>a</sup>	T3	3	.8400
	T2	3	1.0033
	T1	3	1.7667
	Sig.		.099

**c) RL**

Subset for alpha = 0.05			
	WKT	N	1
Duncan <sup>a</sup>	T2	3	.9833
	T3	3	1.1433
	T1	3	1.5733
	Sig.		.060

**d) RL+G**

Subset for alpha = 0.05			
	WKT	N	1
Duncan <sup>a</sup>	T2	3	2.0600
	T3	3	2.2767
	T1	3	2.3833
	Sig.		.556

- Perbedaan letak nilai subset menunjukkan tingkat perbedaan antarvariasi
- Nilai yang terletak pada kolom subset yang sama menunjukkan tidak adanya perbedaan yang signifikan antara variasi

**LSD**

Dependent Variable	(I)	WKT	(J)	WKT	Mean			95% Confidence Interval		
					Difference (I-J)	Std. Error	Sig.	Lower Bound	Upper Bound	
KN	LSD	T1	T2		-.10667	.25874	.694	-.7398	.5265	
			T3		.08000	.25874	.768	-.5531	.7131	
		T2	T1		.10667	.25874	.694	-.5265	.7398	
			T3		.18667	.25874	.498	-.4465	.8198	
		T3	T1		-.08000	.25874	.768	-.7131	.5531	
			T2		-.18667	.25874	.498	-.8198	.4465	
	LSD	T1	T2		.76333	.45825	.147	-.3580	1.8846	



			T3	.92667	.45825	.090	-.1946	2.0480
		T2	T1	-.76333	.45825	.147	-1.8846	.3580
			T3	.16333	.45825	.734	-.9580	1.2846
		T3	T1	-.92667	.45825	.090	-2.0480	.1946
			T2	-.16333	.45825	.734	-1.2846	.9580
RL	LSD	T1	T2	.59000	.24631	.054	-.0127	1.1927
			T3	.43000	.24631	.131	-.1727	1.0327
		T2	T1	-.59000	.24631	.054	-1.1927	.0127
			T3	-.16000	.24631	.540	-.7627	.4427
		T3	T1	-.43000	.24631	.131	-1.0327	.1727
			T2	.16000	.24631	.540	-.4427	.7627
RL+G	LSD	T1	T2	.32333	.50212	.543	-.9053	1.5520
			T3	.10667	.50212	.839	-1.1220	1.3353
		T2	T1	-.32333	.50212	.543	-1.5520	.9053
			T3	-.21667	.50212	.681	-1.4453	1.0120
		T3	T1	-.10667	.50212	.839	-1.3353	1.1220
			T2	.21667	.50212	.681	-1.0120	1.4453

##### 5. Descriptive Statistics

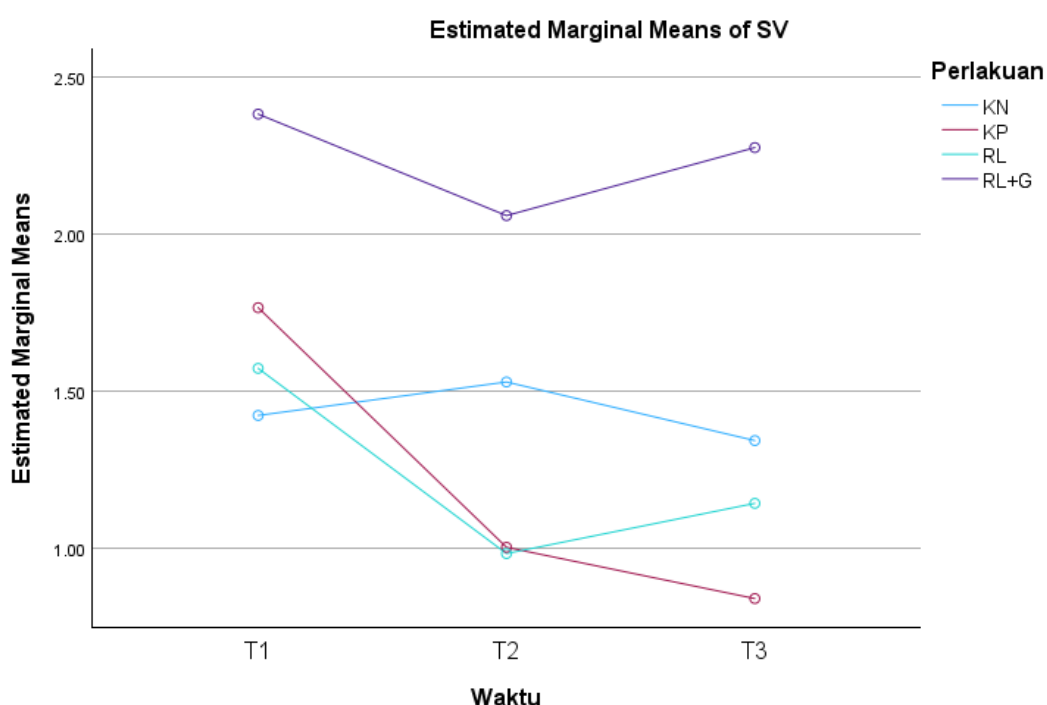
Perlakuan	Waktu	Mean	Std. Deviation	N
KN	T1	1.4233	.20793	3
	T2	1.5300	.41328	3
	T3	1.3433	.29535	3
	Total	1.4322	.28617	9
KP	T1	1.7667	.52624	3
	T2	1.0033	.76846	3
	T3	.8400	.27839	3
	Total	1.2033	.64788	9
RL	T1	1.5733	.47353	3
	T2	.9833	.17616	3
	T3	1.1433	.13317	3
	Total	1.2333	.37158	9
RL+G	T1	2.3833	.23714	3
	T2	2.0600	.85773	3
	T3	2.2767	.58535	3
	Total	2.2400	.55136	9
Total	T1	1.7867	.50480	12
	T2	1.3942	.70104	12
	T3	1.4008	.63988	12
	Total	1.5272	.63076	36



Perlakuan	Waktu			Mean Perlakuan
	T1	T2	T3	
KN	1.42 ± 0.21	1.53 ± 0.41	1.34 ± 0.30	1.43
KP	1.77 ± 0.53	1.00 ± 0.77	0.84 ± 0.28	1.20

RL	$1.57 \pm 0.47$	$0.98 \pm 0.18$	$1.14 \pm 0.13$	1.23
RL+G	$2.38 \pm 0.24$	$2.06 \pm 0.86$	$2.28 \pm 0.59$	2.24
Mean	1.79	1.39	1.40	
Waktu				

- Huruf a dan b digunakan untuk menggambarkan ada atau tidaknya perbedaan yang nyata antar kelompok pada masing-masing indicator berdasarkan variasi perlakuan, waktu, dan interaksi perlakuan waktu.
- Kode huruf yang sama menandakan bahwa nilainya tidak berbeda nyata. Sebaliknya, kode huruf yang berbeda menandakan bahwa nilainya mengalami perbedaan yang nyata.



## CO (ml)

### 1. Normalitas

	Kolmogorov-Smirnov <sup>a</sup>			Shapiro-Wilk		
	Statistic	df	Sig.	Statistic	df	Sig.
Standardized Residual for CO	.079	36	.200*	.975	36	.587

0.587 >  $\alpha$  (0.05) sehingga data CO berdistribusi normal

### 2. Homogenitas

CO		Levene Statistic	df1	df2	Sig.
Based on Mean	Based on Mean	2.646	11	24	<b>.222</b>
	Based on Median	.459	11	24	.910
	Based on Median and with adjusted df	.459	11	7.744	.883
	Based on trimmed mean	2.367	11	24	.038

0.222 >  $\alpha$  (0.05) sehingga data CO homogen

### 3. Anova Two Way

Source	Type III Sum of Squares				
		df	Mean Square	F	Sig.
Corrected Model	244898.906 <sup>a</sup>	11	22263.537	4.940	<.001
Intercept	2321097.955	1	2321097.955	515.012	<.001
Perlakuan	138937.014	3	46312.338	10.276	<b>&lt;.001</b>
Waktu	77351.764	2	38675.882	8.582	<b>.002</b>
Perlakuan * Waktu	28610.128	6	4768.355	1.058	.414
Error	108165.168	24	4506.882		
Total	2674162.029	36			
Corrected Total	353064.074	35			

- Diperoleh nilai  $<0.001 < \alpha$  (0.05) maka  $H_0$  ditolak, sehingga variasi perlakuan memberikan pengaruh terhadap nilai CO (ml)
- Diperoleh nilai  $0.002 < \alpha$  (0.05) maka  $H_0$  ditolak, sehingga variasi waktu memberikan pengaruh terhadap nilai CO (ml)
- Diperoleh nilai  $0.414 > \alpha$  (0.05) maka  $H_0$  diterima, sehingga interaksi variasi perlakuan dan waktu tidak memberikan pengaruh terhadap nilai CO (ml)

### 4. Uji Lanjutan

#### DUNCAN

Perlakuan	N	Subset	
		1	2
KP	9	187.5878	
RL	9	221.6278	
KN	9	252.5767	
			353.8844
		.063	1.000



**a) KN**

Subset for alpha = 0.05					
	WKT	N	1		
Duncan <sup>a</sup>	T3	3	230.3200		
	T1	3	261.0200		
	T2	3	266.3900		
	Sig.		.523		

**b) KP**

Subset for alpha = 0.05					
	WKT	N	1	2	
Duncan <sup>a</sup>	T3	3	133.5433		
	T2	3	143.4333		
	T1	3		285.7867	
	Sig.		.862	1.000	

**c) RL**

Subset for alpha = 0.05					
	WKT	N	1	2	
Duncan <sup>a</sup>	T2	3	173.5833		
	T3	3	191.8867		
	T1	3		299.4133	
	Sig.		.484	1.000	

**d) RL+G**

Subset for alpha = 0.05					
	WKT	N	1		
Duncan <sup>a</sup>	T2	3	284.5300		
	T3	3	346.1867		
	T1	3	430.9367		
	Sig.		.112		

- Perbedaan letak nilai subset menunjukkan tingkat perbedaan antarvariasi
- Nilai yang terletak pada kolom subset yang sama menunjukkan tidak adanya perbedaan yang signifikan antara variasi

**LSD**

Dependent Variable	95% Confidence Interval								
	(I) WKT	Mean							
		(J) WKT	Difference (I-J)	Std. Error	Sig.	Lower Bound	Upper Bound		
KN	LSD	T1	-5.37000	51.54357	.920	-131.4926	120.7526		6
		T2	30.70000	51.54357	.573	-95.4226	156.8226		6
		T3	5.37000	51.54357	.920	-120.7526	131.4926		6



			T3	36.07000	51.54357	.510	-90.0526	162.192	
			T3	T1	-30.70000	51.54357	.573	-156.8226	95.4226
KP	LSD	T1	T2		-36.07000	51.54357	.510	-162.1926	90.0526
			T3		142.35333*	54.66183	.040	8.6007	276.106
			T2	T1		152.24333*	.032	18.4907	285.996
			T3	T2		9.89000	.862	-123.8627	143.642
			T3	T1		-142.35333*	.040	-276.1060	-8.6007
			T2	T3		125.83000*	.862	-143.6427	123.862
RL	LSD	T1	T2			-9.89000	.032	-285.9960	-18.4907
			T3	T2		-107.52667*	.862	-143.6427	123.862
			T3	T1		125.83000*	.002	65.8029	185.857
			T2	T1		-107.52667*	.005	47.4996	167.553
			T3	T2		18.30333	.002	-185.8571	-65.8029
			T3	T1		-125.83000*	.484	-78.3304	41.7237
RL+G	LSD	T1	T2			-107.52667*	.005	-167.5537	-47.4996
			T2	T1		146.40667	.484	-41.7237	78.3304
			T3	T2		84.75000	.102	-39.4924	332.305
			T3	T1		18.30333	.307	-101.1491	270.649
			T2	T3		146.40667	.102	-332.3058	39.4924
			T3	T1		-61.65667	.448	-247.5558	124.242
			T3	T2		-84.75000	.307	-270.6491	101.149
			T1			61.65667	.448	-124.2424	247.555
			T1						8

##### 5. Descriptive Statistics

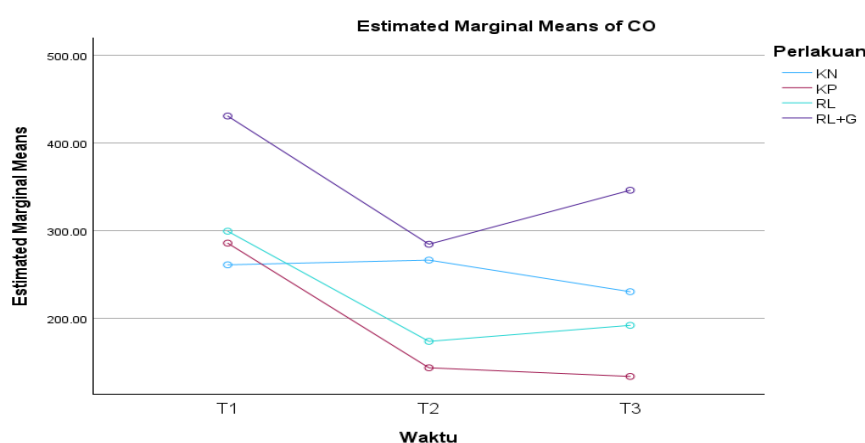
Perlakuan	Waktu	Mean	Std. Deviation	N
KN	T1	261.0200	35.91087	3
	T2	266.3900	82.90110	3
	T3	230.3200	61.58853	3
	Total	252.5767	57.20908	9
	T1	285.7867	46.47399	3
	T2	143.4333	97.52981	3
	T3	133.5433	42.11560	3
	Total	187.5878	93.82934	9
	T1	299.4133	43.23352	3



	T2	173.5833	26.63910	3
	T3	191.8867	11.37348	3
	Total	221.6278	64.36852	9
RL+G	T1	430.9367	73.98743	3
	T2	284.5300	136.13814	3
	T3	346.1867	44.33698	3
	Total	353.8844	102.69251	9
Total	T1	319.2892	81.86418	12
	T2	216.9842	101.86711	12
	T3	225.4842	89.36501	12
	Total	253.9192	100.43677	36

Indikator	Perlakuan	Waktu			Mean Perlakuan
		T1	T2	T3	
CO	KN	261.02 ± 35.91	266.39 ± 82.90	230.32 ± 61.59	252.58
	KP	285.79 ± 46.47	143.43 ± 97.53	133.54 ± 42.12	187.59
	RL	299.41 ± 43.23	173.58 ± 26.64	191.89 ± 11.37	221.63
	RL+G	430.94 ± 73.99	284.53 ± 136.14	346.19 ± 44.34	353.88
	Mean Waktu	319.29	216.98	225.48	

- Huruf a dan b digunakan untuk menggambarkan ada atau tidaknya perbedaan yang nyata antar kelompok pada masing-masing indicator berdasarkan variasi perlakuan, waktu, dan interaksi perlakuan waktu.
- Kode huruf yang sama menandakan bahwa nilainya tidak berbeda nyata. Sebaliknya, kode huruf yang berbeda menandakan bahwa nilainya mengalami perbedaan yang nyata.



## EF (%)

### 1. Normalitas

	Kolmogorov-Smirnov <sup>a</sup>			Shapiro-Wilk		
	Statistic	df	Sig.	Statistic	df	Sig.
Standardized Residual for EF	.080	36	.200*	.986	36	.927

0.927 >  $\alpha$  (0.05) sehingga data EF berdistribusi normal

### 2. Homogenitas

EF		Levene Statistic	df1	df2	Sig.
Based on Mean		1.342	11	24	.262
Based on Median		.487	11	24	.893
Based on Median and with adjusted df		.487	11	13.210	.881
Based on trimmed mean		1.268	11	24	.300

0.262 >  $\alpha$  (0.05) sehingga data EF homogen

### 3. Anova Two Way

Source	Type III Sum of Squares				
		df	Mean Square	F	Sig.
Corrected Model	1804.311 <sup>a</sup>	11	164.028	1.262	.303
Intercept	137122.090	1	137122.090	1055.098	<.001
Perlakuan	1380.591	3	460.197	3.541	.030
Waktu	122.863	2	61.432	.473	.629
Perlakuan * Waktu	300.856	6	50.143	.386	.881
Error	3119.076	24	129.961		
Total	142045.477	36			
Corrected Total	4923.387	35			

- Diperoleh nilai  $0.030 < \alpha$  (0.05) maka  $H_0$  ditolak, sehingga variasi perlakuan memberikan pengaruh terhadap nilai EF (%)
- Diperoleh nilai  $0.629 > \alpha$  (0.05) maka  $H_0$  diterima, sehingga variasi waktu tidak memberikan pengaruh terhadap nilai EF (%)
- Diperoleh nilai  $0.881 > \alpha$  (0.05) maka  $H_0$  diterima, sehingga interaksi variasi perlakuan dan waktu tidak memberikan pengaruh terhadap nilai EF (%)

### 4. Uji Lanjutan

#### DUNCAN

Perlakuan	N	Subset	
		1	2
KP	9	54.4278	
KN	9	57.0100	
PL	9	65.9578	65.9578
	9		69.4711
		.052	.519



**a) KN**

Subset for alpha = 0.05			
	WKT	N	1
Duncan <sup>a</sup>	T3	3	55.5567
	T1	3	56.8933
	T2	3	58.5800
	Sig.		.609

**b) KP**

Subset for alpha = 0.05			
	WKT	N	1
Duncan <sup>a</sup>	T2	3	48.6267
	T3	3	57.0700
	T1	3	57.5867
	Sig.		.524

**c) RL**

Subset for alpha = 0.05			
	WKT	N	1
Duncan <sup>a</sup>	T1	3	60.5533
	T2	3	64.6900
	T3	3	72.6300
	Sig.		.108

**d) RL+G**

Subset for alpha = 0.05			
	WKT	N	1
Duncan <sup>a</sup>	T1	3	67.4900
	T2	3	68.9100
	T3	3	72.0133
	Sig.		.695

- Perbedaan letak nilai subset menunjukkan tingkat perbedaan antarvariasi
- Nilai yang terletak pada kolom subset yang sama menunjukkan tidak adanya perbedaan yang signifikan antara variasi

**LSD**

Dependent Variable	(I) WKT	95% Confidence Interval						
		Mean		Difference (I-J)	Std. Error	Sig.	Lower Bound	
		(J) WKT	Difference (I-J)					
KN	LSD	T1	T2	-1.68667	5.43370	.767	-14.9825	11.6091
			T3	1.33667	5.43370	.814	-11.9591	14.6325
		T2	T1	1.68667	5.43370	.767	-11.6091	14.9825
	T2		T3	3.02333	5.43370	.598	-10.2725	16.3191
		T3	T1	-1.33667	5.43370	.814	-14.6325	11.9591
			T2	-3.02333	5.43370	.598	-16.3191	10.2725



KP	LSD	T1	T2	8.96000	12.85294	.512	-22.4900	40.4100
			T3	.51667	12.85294	.969	-30.9334	31.9667
		T2	T1	-8.96000	12.85294	.512	-40.4100	22.4900
			T3	-8.44333	12.85294	.536	-39.8934	23.0067
		T3	T1	-.51667	12.85294	.969	-31.9667	30.9334
			T2	8.44333	12.85294	.536	-23.0067	39.8934
RL	LSD	T1	T2	-4.13667	6.18097	.528	-19.2610	10.9876
			T3	-12.07667	6.18097	.099	-27.2010	3.0476
		T2	T1	4.13667	6.18097	.528	-10.9876	19.2610
			T3	-7.94000	6.18097	.246	-23.0643	7.1843
		T3	T1	12.07667	6.18097	.099	-3.0476	27.2010
			T2	7.94000	6.18097	.246	-7.1843	23.0643
RL+G	LSD	T1	T2	-1.42000	10.66004	.898	-27.5042	24.6642
			T3	-4.52333	10.66004	.686	-30.6075	21.5608
		T2	T1	1.42000	10.66004	.898	-24.6642	27.5042
			T3	-3.10333	10.66004	.781	-29.1875	22.9808
		T3	T1	4.52333	10.66004	.686	-21.5608	30.6075
			T2	3.10333	10.66004	.781	-22.9808	29.1875

##### 5. Descriptive Statistics

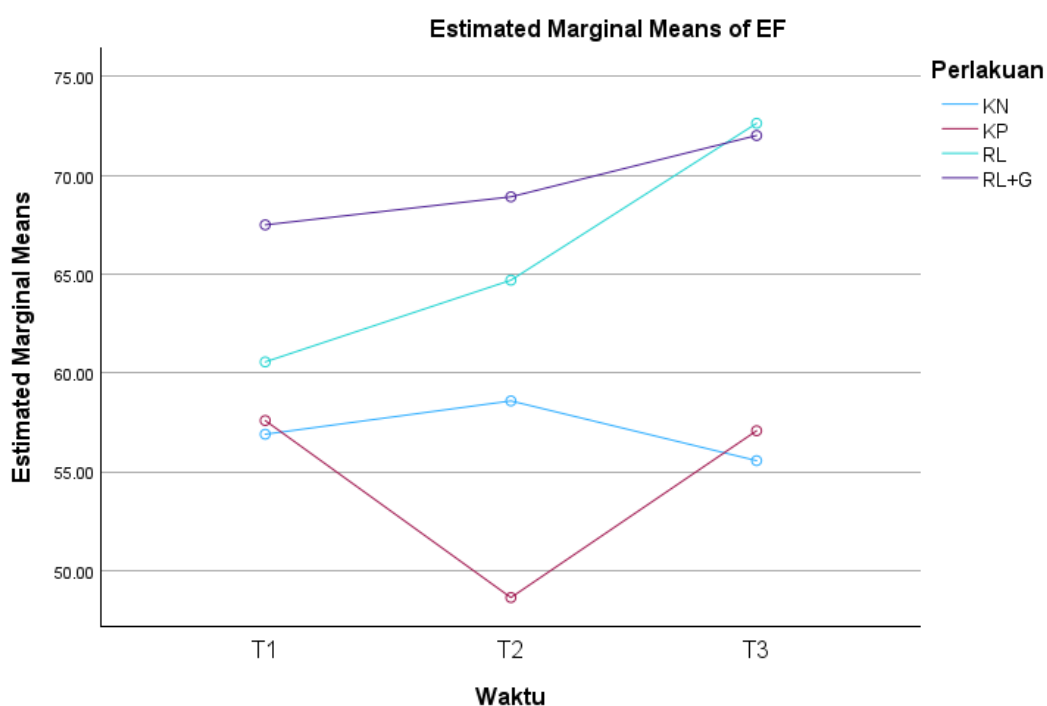
Perlakuan	Waktu	Mean	Std. Deviation	N
KN	T1	56.8933	8.21028	3
	T2	58.5800	5.01142	3
	T3	55.5567	6.35139	3
	Total	57.0100	5.91078	9
KP	T1	57.5867	7.70071	3
	T2	48.6267	14.49805	3
	T3	57.0700	21.76918	3
	Total	54.4278	14.31180	9
RL	T1	60.5533	6.65941	3
	T2	64.6900	7.32701	3
	T3	72.6300	8.59574	3
	Total	65.9578	8.43979	9
RL+G	T1	67.4900	15.01222	3
	T2	68.9100	12.21145	3
	T3	72.0133	11.69946	3
	Total	69.4711	11.48279	9
Total	T1	60.6308	9.55233	12
	T2	60.2017	11.96205	12
	T3	64.3175	14.21526	12
	Total	61.7167	11.86036	36



Perlakuan	Waktu			Mean
	T1	T2	T3	
KN	56.89 ± 8.21	58.58 ± 5.01	55.56 ± 6.35	57.01
KP	57.59 ± 7.70	48.63 ± 14.50	57.07 ± 21.77	54.43

RL	$60.55 \pm 6.66$	$64.69 \pm 7.33$	$72.63 \pm 8.60$	65.96
RL+G	$67.49 \pm 15.01$	$68.91 \pm 12.21$	$72.01 \pm 11.70$	69.47
Mean	60.63	60.20	64.32	
Waktu				

- Huruf a dan b digunakan untuk menggambarkan ada atau tidaknya perbedaan yang nyata antar kelompok pada masing-masing indicator berdasarkan variasi perlakuan, waktu, dan interaksi perlakuan waktu.
- Kode huruf yang sama menandakan bahwa nilainya tidak berbeda nyata. Sebaliknya, kode huruf yang berbeda menandakan bahwa nilainya mengalami perbedaan yang nyata.



## FS (%)

### 1. Normalitas

	Kolmogorov-Smirnov <sup>a</sup>			Shapiro-Wilk		
	Statistic	df	Sig.	Statistic	df	Sig.
Standardized Residual for FS	.085	36	.200*	.985	36	.892

0.892 >  $\alpha$  (0.05) sehingga data FS berdistribusi normal

### 2. Homogenitas

FS	Based on Mean Based on Median Based on Median and with adjusted df Based on trimmed mean	Levene Statistic		df1	df2	Sig.
		1.115	.500	11	24	.392
		.500	.500	11	24	.884
				11	14.068	.873
		1.069		11	24	.424

0.392 >  $\alpha$  (0.05) sehingga data FS homogen

### 3. Anova Two Way

Source	Type III Sum of Squares				
		df	Mean Square	F	Sig.
Corrected Model	892.233 <sup>a</sup>	11	81.112	1.353	.257
Intercept	33454.239	1	33454.239	558.156	<.001
Perlakuan	688.604	3	229.535	3.830	.023
Waktu	71.977	2	35.988	.600	.557
Perlakuan * Waktu	131.652	6	21.942	.366	.893
Error	1438.490	24	59.937		
Total	35784.962	36			
Corrected Total	2330.723	35			

- Diperoleh nilai  $0.023 < \alpha (0.05)$  maka  $H_0$  ditolak, sehingga variasi perlakuan memberikan pengaruh terhadap nilai FS (%)
- Diperoleh nilai  $0.557 > \alpha (0.05)$  maka  $H_0$  diterima, sehingga variasi waktu tidak memberikan pengaruh terhadap nilai FS (%)
- Diperoleh nilai  $0.893 > \alpha (0.05)$  maka  $H_0$  diterima, sehingga interaksi variasi perlakuan dan waktu tidak memberikan pengaruh terhadap nilai FS (%)

### 4. Uji Lanjutan

#### DUNCAN

Perlakuan	N	Subset	
		1	2
KP	9	25.7956	
KN	9	26.8133	
PL	9	32.9156	32.9156
			36.4122
		.076	.348



**a) KN**

Subset for alpha = 0.05			
	WKT	N	1
Duncan <sup>a</sup>	T3	3	25.8800
	T1	3	26.7900
	T2	3	27.7700
	Sig.		.596

**b) KP**

Subset for alpha = 0.05			
	WKT	N	1
Duncan <sup>a</sup>	T2	3	22.2200
	T1	3	27.3500
	T3	3	27.8167
	Sig.		.498

**c) RL**

Subset for alpha = 0.05			
	WKT	N	1
Duncan <sup>a</sup>	T1	3	29.0967
	T2	3	31.7167
	T3	3	37.9333
	Sig.		.121

**d) RL+G**

Subset for alpha = 0.05			
	WKT	N	1
Duncan <sup>a</sup>	T1	3	35.0867
	T2	3	35.8567
	T3	3	38.2933
	Sig.		.723

- Perbedaan letak nilai subset menunjukkan tingkat perbedaan antarvariasi
- Nilai yang terletak pada kolom subset yang sama menunjukkan tidak adanya perbedaan yang signifikan antara variasi

**LSD**

Dependent Variable	(I) WKT	(J) WKT	Mean				95% Confidence Interval		Upper Bound
			Difference (I-J)	Std. Error	Sig.	Lower Bound			
KN	LSD	T1	-0.98000	3.27170	.775	-8.9856	7.0256		
		T2	0.91000	3.27170	.790	-7.0956	8.9156		
		T3	0.98000	3.27170	.775	-7.0256	8.9856		
	T2	T1	1.89000	3.27170	.584	-6.1156	9.8956		
		T3	-0.91000	3.27170	.790	-8.9156	7.0956		
		T1	-1.89000	3.27170	.584	-9.8956	6.1156		
	T3	T2	5.13000	7.52186	.521	-13.2753	23.5353		
		T1							
		T2							



			T3	-.46667	7.52186	.953	-18.8720	17.9387
RL	LSD	T1	T2	-5.13000	7.52186	.521	-23.5353	13.2753
			T3	-5.59667	7.52186	.485	-24.0020	12.8087
			T2	.46667	7.52186	.953	-17.9387	18.8720
			T3	5.59667	7.52186	.485	-12.8087	24.0020
			T2	-2.62000	4.72322	.599	-14.1773	8.9373
			T3	-8.83667	4.72322	.111	-20.3940	2.7206
		T3	T2	2.62000	4.72322	.599	-8.9373	14.1773
			T3	-6.21667	4.72322	.236	-17.7740	5.3406
			T2	8.83667	4.72322	.111	-2.7206	20.3940
			T3	6.21667	4.72322	.236	-5.3406	17.7740
			T2	-.77000	8.38099	.930	-21.2775	19.7375
			T3	-3.20667	8.38099	.715	-23.7142	17.3009
RL+G	LSD	T1	T2	.77000	8.38099	.930	-19.7375	21.2775
			T3	-2.43667	8.38099	.781	-22.9442	18.0709
			T2	3.20667	8.38099	.715	-17.3009	23.7142
		T3	T1	2.43667	8.38099	.781	-18.0709	22.9442
			T2					

##### 5. Descriptive Statistics

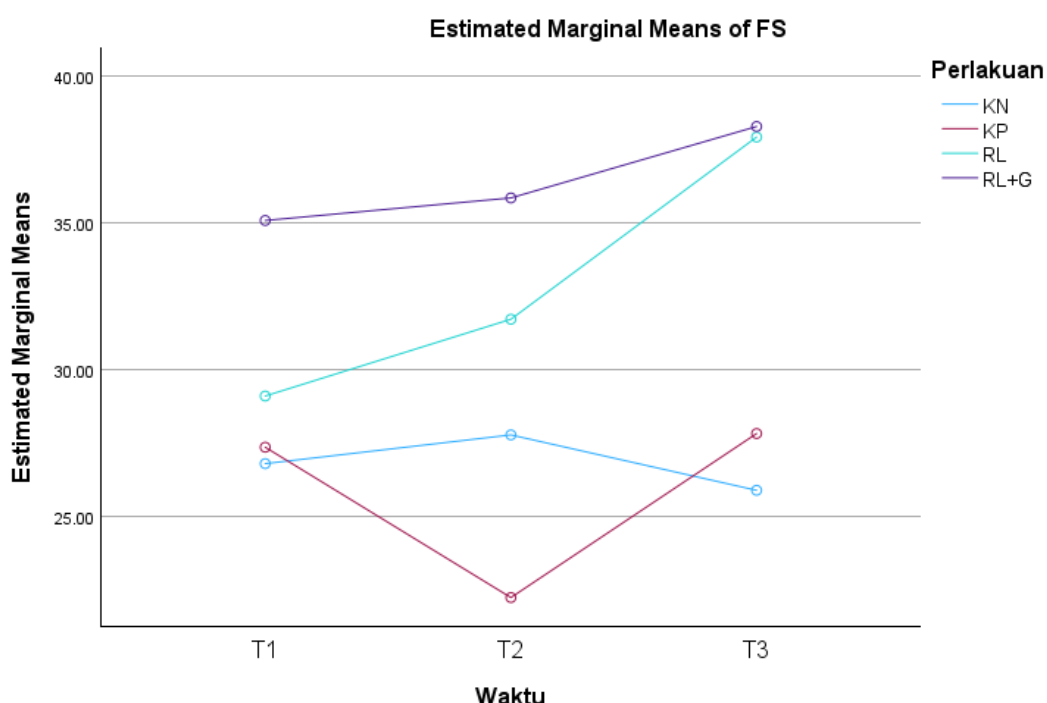
Perlakuan	Waktu	Mean	Std. Deviation	N
KN	T1	26.7900	5.06744	3
	T2	27.7700	2.96309	3
	T3	25.8800	3.70259	3
	Total	26.8133	3.56540	9
KP	T1	27.3500	4.68309	3
	T2	22.2200	7.73118	3
	T3	27.8167	13.14916	3
	Total	25.7956	8.41920	9
RL	T1	29.0967	4.35048	3
	T2	31.7167	5.20785	3
	T3	37.9333	7.37165	3
	Total	32.9156	6.36766	9
RL+G	T1	35.0867	11.16796	3
	T2	35.8567	10.13857	3
	T3	38.2933	9.41120	3
	Total	36.4122	9.00682	9
Total	T1	29.5808	6.82550	12
	T2	29.3908	7.98134	12
	T3	32.4808	9.74942	12
	Total	30.4842	8.16040	36



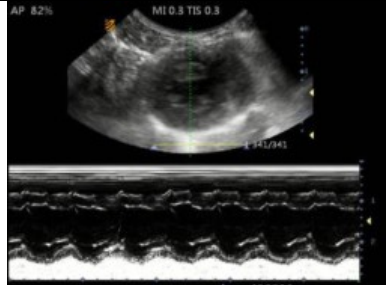
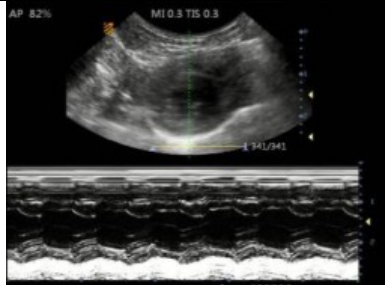
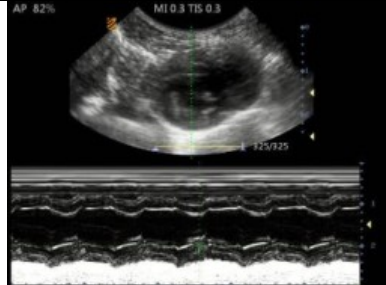
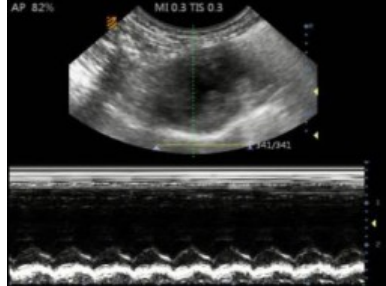
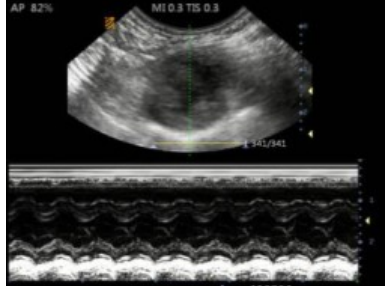
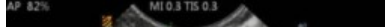
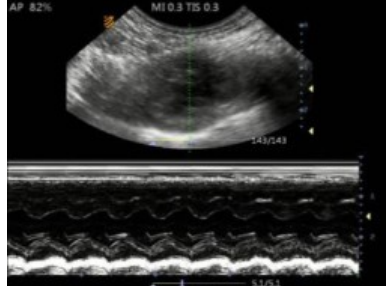
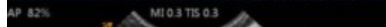
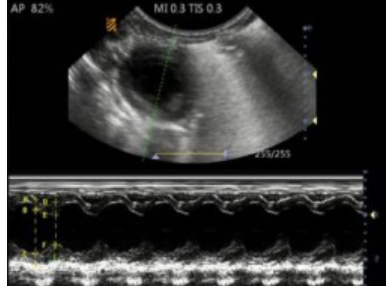
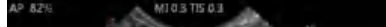
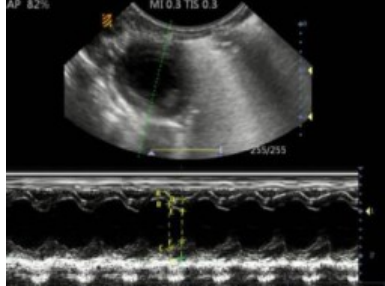
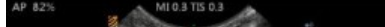
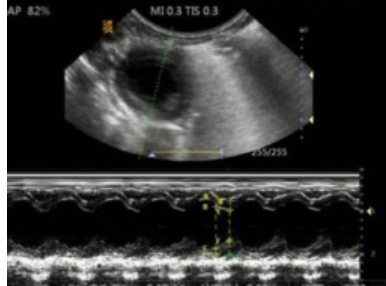
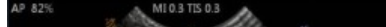
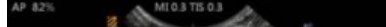
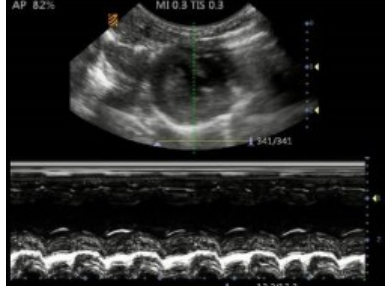
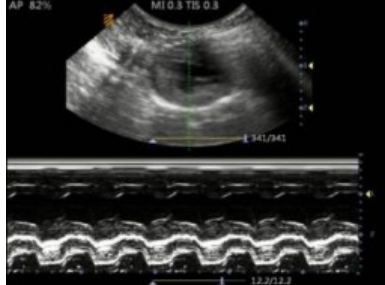
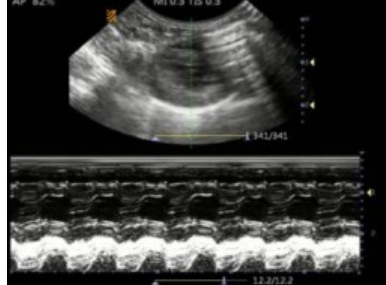
Perlakuan	Waktu			Mean Perlakuan
	T1	T2	T3	
KN	26.79 ± 5.07	27.77 ± 2.96	25.88 ± 3.70	26.81
KP	27.35 ± 4.68	22.22 ± 7.73	27.82 ± 13.15	25.80

RL	$29.10 \pm 4.35$	$31.72 \pm 5.21$	$37.93 \pm 7.37$	32.92
RL+G	$35.09 \pm 11.17$	$35.86 \pm 10.14$	$38.29 \pm 9.41$	36.41
Mean	29.58	29.39	32.48	
Waktu				

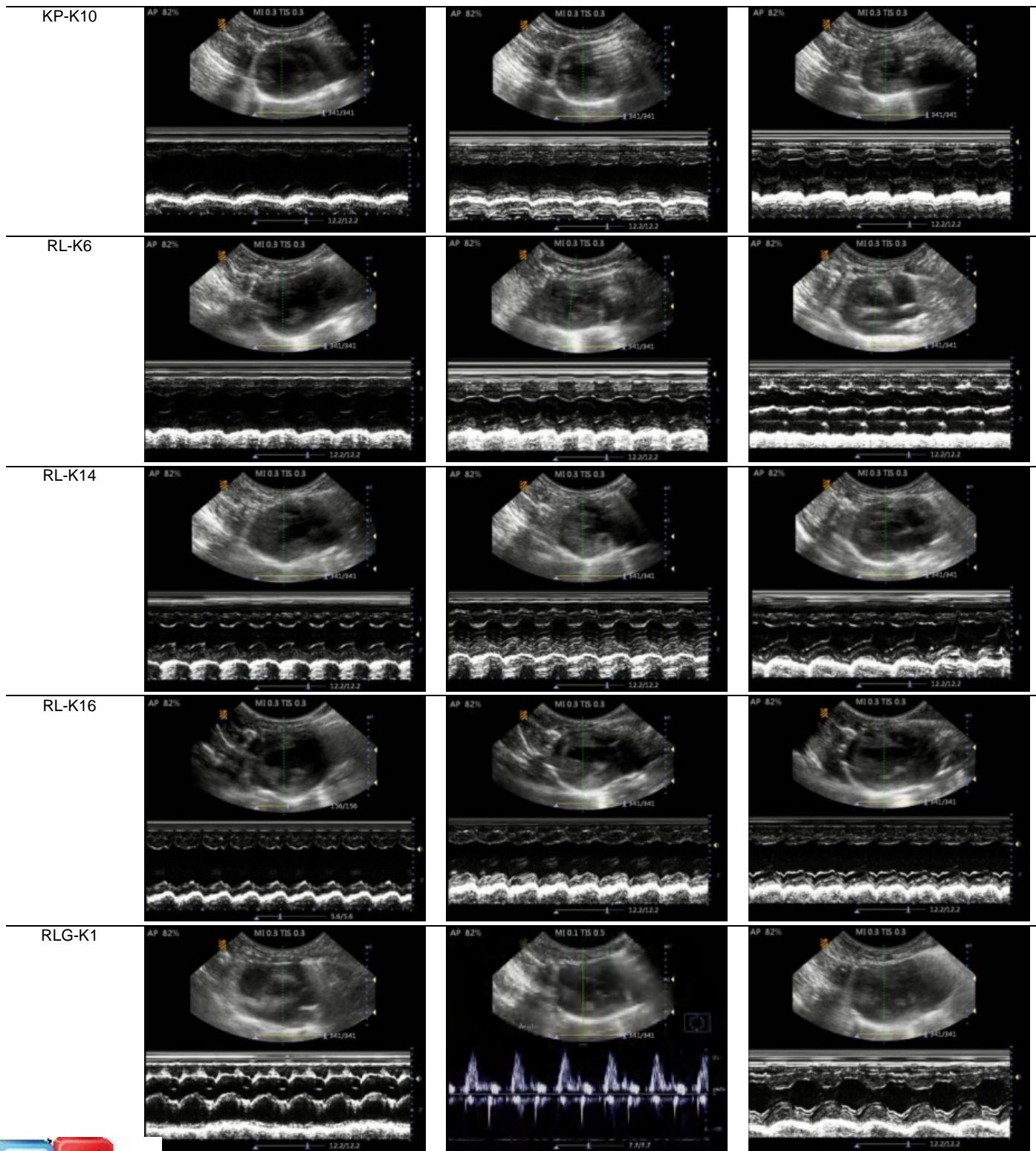
- Huruf a dan b digunakan untuk menggambarkan ada atau tidaknya perbedaan yang nyata antar kelompok pada masing-masing indicator berdasarkan variasi perlakuan, waktu, dan interaksi perlakuan waktu.
- Kode huruf yang sama menandakan bahwa nilainya tidak berbeda nyata. Sebaliknya, kode huruf yang berbeda menandakan bahwa nilainya mengalami perbedaan yang nyata.

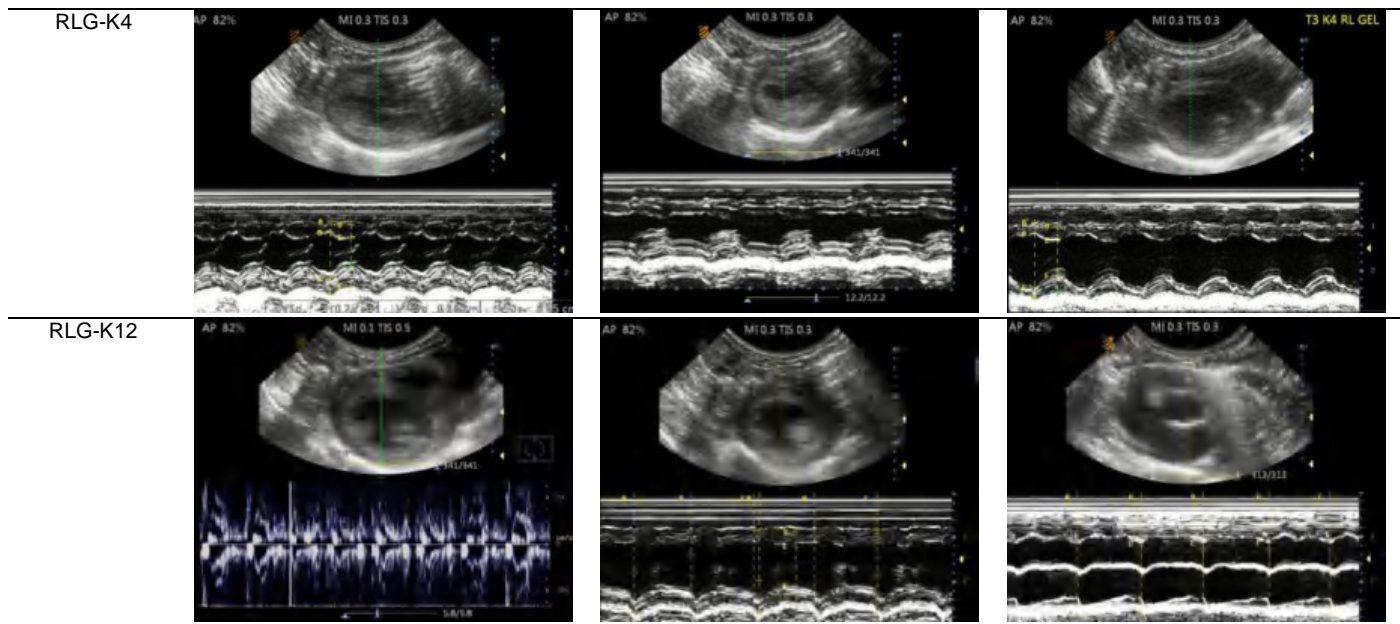


## Lampiran 2. Gambar hasil pengukuran ekokardiografi

Kelompok	Waktu		
	T1	T2	T3
KN-K2	 	 	 
KN-K5	 	 	 
KN-K7	 	 	 
KP-K8	 	 	 
KP-K9	 	 	 







Optimized using  
trial version  
[www.balesio.com](http://www.balesio.com)

### Lampiran 3. Dokumentasi kegiatan penelitian

Aklimatisasi Kelinci  
Selama 14 Hari



Anastesi



Pemberian Perlakuan  
Syok Hemoragik



Pemberian Resusitasi  
Cairan



Pengambilan Sampel



Eutanasia



## RIWAYAT HIDUP PENULIS



Penulis lahir dengan nama lengkap Annisa Fadilah Amaliah di Bantaeng pada tanggal 27 Desember 2001. Penulis merupakan anak kedua diantara tiga bersaudara dari pasangan Rudihartono, S.Pd, M.M dan Alm. Asni, S.Pd. Penulis memulai Pendidikan di SD Negeri 24 Macanang dan lulus pada tahun 2014. Setelah itu, penulis melanjutkan Pendidikan di SMP Negeri 1 Watampone dan lulus pada tahun 2016. Kemudian, penulis melanjutkan Pendidikan di SMA Negeri 13 Bone dan lulus pada tahun 2019. Pada tahun 2020, penulis melanjutkan Pendidikan di Program Studi Kedokteran Hewan, Fakultas Kedokteran Universitas Hasanuddin. Selama perkuliahan penulis juga mengikuti organisasi Himpunan Mahasiswa Kedokteran Hewan (HIMAKAHA) FK-UNHAS. Sekarang penulis menyusun skripsi dengan judul “Pengaruh Resusitasi Cairan Terhadap Kelinci (*Oryctolagus cuniculus*) yang Mengalami Syok Hemoragik dari Aspek Hemodinamika Melalui Gambaran Ekokardiografi.

